

⁽١) أستاذ مساعد الجغرافيا المناخية، قسم الجغرافيا ونظم المعلومات الجغرافية، كلية الآداب، جامعة أسيوط، أسيوط، مصر. mohammed.hany@art.aun.edu.eg

⁽۲) أستاذ مساعد الجغرافيا المناخية وتطبيقات الاستشعار عن بعد ونظم المعلومات الجغرافية، قسم الجغرفيا ونظم المعلومات الجغرافية، كلية الآداب، جامعة عين شمس، القاهرة، مصرر. Khaled.madkour@art.asu.edu.eg

⁽٣) أستاذ مساعد الجغرافيا الطبية وتطبيقات الاستشعار عن بعد ونظم المعلومات الجغرافية قسم الجغرافيا ونظم المعلومات الجغرافية، كلية الآداب، جامعة أسيوط، أسيوط، مصر ahmed ali24689@yahoo.com

مخلص:

تُعد القواقع المائية أحد أشكال الكائنات الحية الحاملة للعديد من الأمراض التي تهدد صحة البشر سواء بشكل مباشر عن طريق نقل مجموعة من الأمراض الخطيرة التي تصيب الإنسان بشكل مباشر وأهمها مرض البلهارسيا المنقول عبر قواقع بولينس، أو بشكل غير مباشر عن طريق نقل مجموعة من الأمراض التي تصيب الكائنات الحية، ومنها مرض الفاشيولا الذي يصيب الماشية عبر قواقع ليمنيا كايودي، والتي يمكنها نقل تلك الأمراض إلى الإنسان بشكل غير مباشر عبر حيوان مصاب بهذا المرض. وتُعد هذه الأشكال البيولوجية والتي تمثلها القواقع المائية شديدة التأثر بالتغير في العناصر المناخية التي تعمل على زيادة أو الحد من نموها وتكاثرها وتوزيعها المكاني بشكل عام. وتهدف الدراسة الحالية إلى تحليل مدى انتشار القواقع المائية الحاملة لأمراض البلهارسيا والفاشيولا في مصر وأثر عناصر المناخ والتغيرات المحتملة على هذا التوزيع وما يرتبط بها من أخطار صحية وطبية نتيجة للامراض المنقوله من خلالها. واعتمدت الدراسـة على النمذجة المكانية للتباينات الجغرافية لتوزيع القواقع المائية والأمراض المنقولة من خلالها، والظروف المناخية الحالية والتغيرات المناخية المحتملة والنماذج الرباضية والتحليلات المكانية لتحديد العلاقات الارتباطية وتحديد نطاقات المخاطر المحتملة للقواقع المائية. وبُمثل تحديد أخطار الأمراض المنقولة بالقواقع المائية وظروفها الجيو بيئية والمناخية أهمية لواضعي السياسات وعلماء البيئة والباحثين، حيث تُعد بمثابة بداية للتوجه نحو بناء قاعدة بيانات للمراقبة الجيو وبائية للأنماط المكانية والزمنية لتوزيع القواقع المائية الحاملة للامراض؛ لتُمكّن مسؤولي الصحة العامة في مصر من التصدي للأمراض المنقولة عبر القواقع المائية.

وانتهت الدراسة إلى تحديد نطاقات المخاطر الحالية والمحتملة للتعرض للأمراض المنقولة بالقواقع المائية ومستوياتها المكانية، وإنشاء خرائط للتوزيعات المكانية والزمنية للقواقع المائية، وتحديد الظروف والملائمة البيئية لتواجد القواقع المائية، وإنشاء خرائط معاملات الخطورة المحتملة للقواقع المائية في ظل الظروف المناخية الحالية وتغيراتها المحتملة. وتوصىي الدراسة بإنشاء مشروع قومي للمراقبة الوبائية للقواقع المائية ومخاطرها في ضوء التغيرات المناخية.

الكلمات المفتاحية: القواقع المائية، البلهارسيا، الفاشيولا، التغيرات المناخية، التنوع البيولوجي، المخاطر الصحية.

Modelling the Risks of Disease-Carrying Snails of Schistosomiasis and Fascioliasis under the influence of climate change in Asyut, Egypt.

A study using Remote Sensing and GIS techniques

Abstract:

Snails are a host to several diseases that threaten human health, both directly by transmitting serious diseases that affect humans, most notably schistosomiasis, which Freshwater snails transmit (Bulinus). They can also indirectly transmit several diseases that affect living organisms, including Fasciola, which infects livestock via Lymnaea cailliaudi. These snails can transmit these diseases to humans indirectly via an infected animal. These snails, as biological forms, are highly susceptible to changes in climatic factors, which increase or limit their growth, reproduction, and overall spatial distribution. The current study aims to analyze the prevalence of snails carrying schistosomiasis and Fasciola in Asyut, Egypt, the impact of climatic factors and potential changes on this distribution, and the associated health and medical risks resulting from the diseases transmitted by them. The study relied on spatial modeling of the geographic variations in the distribution of snails and the diseases they transmit, current climatic conditions, potential climate changes, mathematical models, and spatial analyses to identify correlations and determine the potential risk ranges for aquatic snails. Identifying the risks of snail-borne diseases and their geo-ecological and climatic conditions is important for policymakers, environmental scientists, and researchers. It serves as a starting point for building a database for geo-epidemiological surveillance of the spatial and temporal patterns of the distribution of diseasecarrying aquatic snails, enabling public health officials in Asyut, Egypt, to address snail-borne diseases. The study concluded by identifying the current and potential risk ranges and spatial levels of exposure to snail-borne diseases, creating maps of the spatial and temporal distributions of snails, identifying the environmental conditions and suitability for the presence of aquatic snails, and creating maps of the potential risk factors for aquatic snails under current climatic conditions and their potential changes. The study recommends establishing a national project for epidemiological surveillance of snails and their risks considering climate change.

Keywords: Climate Change, Biodiversity, Health risks, Snails, Schistosomiasis, Fascioliasis.

المقدمة:

ترتبط العديد من الأمراض المنقولة عبر الرخويات بالقواقع المائية والمتغيرات البيئية السائدة وتوزيعها الجغرافي في الأنماط المكانية والزمنية، مما يجعل القواقع المائية تمثل خطرًا صحيًا في نقل الأمراض إلى السكان في البيئة المحيطة، وهو ما أشارت له العديد من الدراسات ;Recopuerto-Medina et al., 2024; Oso, Sunday & Odaibo, 2022) .Magero, Kisara & Wade, 2021; Oso, Sunday & Odaibo, 2022) وتعمل القواقع المائية كمؤشّرات حيوية فعّالة لتدهور النظم المائية بفضل انتشارها الواسع، وحركتها المحدودة، وأعمارها النسبيّة الطويلة. وتتميّز الحلزونات الرخوية بقدرتها على تحمّل الظروف القاسية من خلال استخدام تجويف الوشاح الوعائي المستيعاب الهواء الجوي. وتُعد العوامل المناخية والبيئية متغيّرات تنبّئية رئيسة لتوزيع القواقع الوسيطة التي تؤدي دورًا مركزيًا في ديناميّات الأمراض ,Scholte et al.,

وانتهت العديد من الدراسات إلى ملاءمة القواقع المائية كمؤشّر لتلوّث المياه نظرًا لتحمّلها البيئات الملوّثة وتراكمها للمعادن الثقيلة مع احتفاظها بمعدلات تكاثر مرتفعة (Tchakonte et al., 2023). حيث تعمل قواقع المياه العذبة كعوائل وسيطة ليرقات طفيليّة مسـوولة عن ثاني أهم الأمراض الطفيليّة المدارية بعد الملاريا، وهي البلهارسيا والفاشيولا (Guan et al., 2023). وتنتشر تلك الأمراض في ۷۸ دولة، ويُقدَّر عدد المصابين بنحو ۲۰۰ مليون شخص في المناطق الريفية وشبه الحضرية؛ ويعاني حوالي ۲۰ مليونًا منهم من مضـاعفات خطيرة، فيما يعيش نحو ۲۰۰ مليون شخص في مناطق موبوءة ومعرَّضون لخطر العدوى بتلك الأمراض, وقد يرتفع (Okeke et al., ما يزيد على ۲۰۰ ألف حالة وفاة سنويًا جرّاء هذه الأمراض، وقد يرتفع العدد إلى ما يزيد على ۲۰۰ ألف حالة سنويًا في غياب التدابير الوقائيّة الفعّالة، وهو ما تشير إليه منظمة الصحة العالمية (WHO, 2023).

وتشمل التدابير الوقائية الفعالة لمكافحة تلك القواقع بناء منظومة متكاملة لإدارة المعلومات المكانية - الزمانية وتوظيفها في برامج رصيد ومراقبة انتشار القواقع (Meshgi et al., 2019). فالزمان، والمكان، والإنسان تُشكِّل مجتمعةً عناصر الحضور الوبائي، فيما تؤدي التغيّرات البيئية والجغرافية -المناخية دورًا محوريًا في توسيع موائل النواقل وتعزيز انتقال المُمرّضات (Mas-Coma et al., 2009).

مشكلة الدراسة:

أدت الحاجة لزبادة إنتاج الغذاء إلى تطوير مشاريع للري الدائم وخاصة الكبري على مستوى العالم، وتبع تلك المنظومة ظهور عواقب بيئية متنوعة من بينها مشكلة زبادة انتقال الأمراض الطفيلية للإنسان (Betterton, 1984). وصاحب التوسع في مشروعات الري والصرف في مصر زبادة في انتشار الكائنات الحية الطفيلية وارتفاع في معدلات الإصابة بالأمراض المنقولة من خلالها لتصال إلى ٣٥% من جملة المفحوصين وذلك بعد بناء السد العالى (السبعاوي، ٢٠٢٢). وفي ظل التغيرات المناخية التي يشهدها العالم وتتأثر بها مصر من ناحية أخرى، فمن المتوقع أن تؤثر على الأنظمة البيولوجية للقواقع المائية وزبادة النطاق الجغرافي لانتشارها، وزبادة انتشار وشدة العدوى بالأمراض المنقولة من خلالها، كذلك إنشاء بيئات جديدة ملائمة لانتشار القواقع في مناطق جديدة غير مستوطنة، علاوة على زبادة نطاق الانتقال بين البيئات، وتوسيع النطاق المكاني لانتشار موائل القواقع (Dube et al., 2023). وبعد التعرف على كيفية تأثير العوامل البيئة والمناخية وخاصة ارتفاع درجات الحرارة والرطوبة على وتيرة وديناميكيات واتساع نطاق موائل القواقع ومدى انتشارها، وتغير خربطة انتقال الأمراض المعدية يشكل قضية مهمة في مجال الصحة العامة وقضايا التغيرات المناخية، وبمكن تحديد مشكلة البحث في منطقة الدراسة من خلال مجموعة الاشكاليات الفرعية التالية:

- أدى الإمتداد العمراني واستحداث تجمعات سكنية بالقرب من الترع والمصارف في محافظة أسيوط في شكل عزب وتوابع للقرى البالغ عددها ١٠١٧ عزبة، إلى مخالطة البشر للنظام البيئي المائي في المحافظة مما أسهم في تعرض السكان وخاصة الأطفال لخطر الإصابة بالأمراض الطفيلية المنقولة عبر القواقع.
- نتج عن عدم التطهير المستمر لشبكة الترع والمصارف في محافظة أسيوط إلى انتشار التلوث بكافة أشكاله شكل (١) –، والذي يمثل بيئة مناسبة لوجود الموائل ونمو وتكاثر القواقع واتساع نطاقها المكاني وزيادة معدلات الإصابة بالأمراض الطفيلية منقولة من خلالها.
- يوجد بمحافظة أسيوط ٤٧ وحدة لجمع القواقع من شبكة الترع، حيث يقوم كل عامل بإجراء مسح لنطاق محدد كل فترة وبشكل دوري دون الأخذ في الاعتبار والاعتماد على إمكانية التنبؤ بمواقع القوقع وفقًا للظروف المناخية والبيئية والتغيرات المكانية الزمانية.

وتعد دراســـة أنماط توزيع تجمع القواقع في المناطق الموبوءة، في ظل هذه الإشــكاليات ســالغة الذكر، قد يكون لها تأثيرات عميقة على ديناميكيات تجمعات الطفيليات. ويعد تحليل تأثير التغيرات المكانية الزمانية أداة فعالة لالتقاط الصــورة الحقيقة لذلك لتوزيع وإمكانية التنبؤ المكاني الفعال بتجمعات القواقع في ظل الظروف بيئية معينة، مما يوفر قاعدة معلوماتية جغرافية عن عوامل الخطر وتحديد المواقع الجغرافية لمناطق الخطر وتحليلها مكانيًا مما يسـهم في تحسـين واختيار اسـتراتيجيات أفضل لجمع القواقع -حيث تعد السيطرة البيئية على العوائل الوسيطة للقواقع أرخص من أساليب المكافحة والسيطرة بالمواد الكيميائية والمبيدات - كجزء متكامل من القضاء على الأمراض الطفيلية المنقولة بالنواقل المائية بالاعتماد تحليل التغيرات المكانية الزمانية، وهو الهدف الرئيس للبحث.



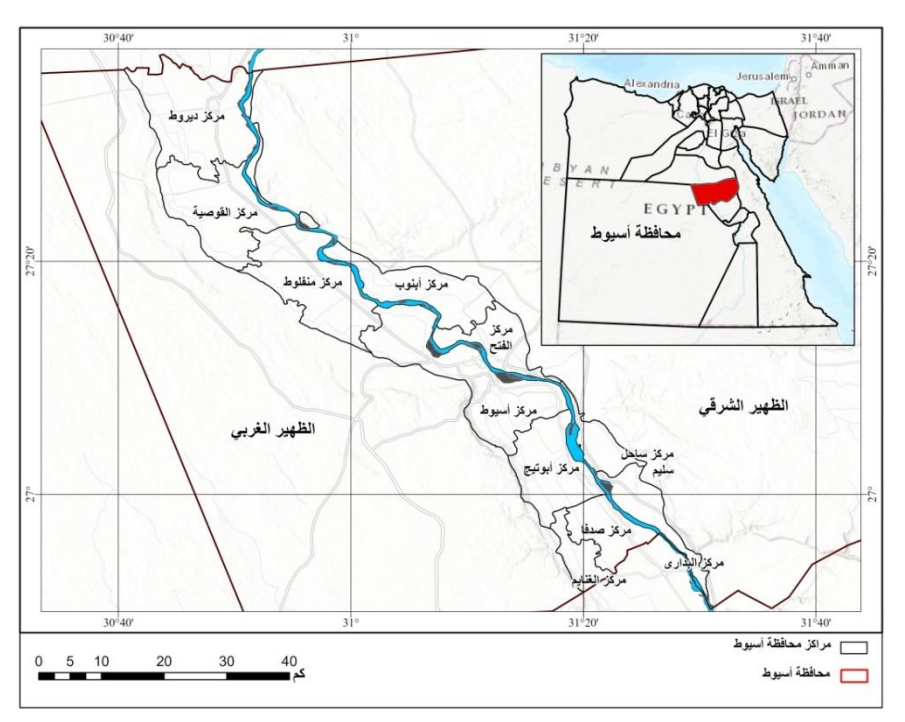




شكل (١): صور لأشكال تلوث شبكة الترع والمصارف في محافظة أسيوط (أ) مركز البدراي - (ب) مركز الفتح - (ج) مركز أبنوب (د) ساحل سليم - (ه) صدفا (و) مرکز منفلوط- (ز) مرکز دیروط

منطقة الدراسة:

تعد محافظة أسيوط إحدى محافظات مصر العليا، ويحدها شمالًا محافظة المنيا، وجنوبًا محافظة سـوهاج، ومن الشرق محافظة البحر الأحمر، ومن الغرب محافظة الوادي الجديد، وتأخذ المحافظة شكلًا شريطيًا بطول ١٣٠ كم على امتداد مجرى نهر النيل. وتمتد المحافظة فلكيًا بين دائرتي عرض ٢٦٬٤٥، و٤٠ ٢٧°، شمالًا، وخطى طول ٤٥ · ٣٠، و ٤٥ '٣١° شرقًا. وتبلغ مساحة المحافظة الكلية نحو 25,926 كم2؛ والتي تمثل ٢,٥٩% من المساحة الكلية للجمهورية، وتصل مساحتها المأهولة نحو ١٥٦٢ كم²، وببلغ عدد سكانها نحو ٤,٣٨ مليون نسمة وفقًا لتعداد ٢٠١٧، وتنقسم محافظة أسيوط إداريًا - شكل (٢) - إلى إحدى عشر مركزًا، واثنان وخمسون وحدة محلية، ومئتان اثنان وثلاثون قربة (CAPMAS, 2017).



شكل (٢) التقسيم الإداري لمنطقة الدراسة

فرض الموقع الفلكي لمحافظة أسيوط مناخا صحراويًا جافًا على أجوائها، حيث تقع المحافظة في نطاق المناخ الصحراوي الحار (BWh) وفق تصنيف كوبن؛ والذي يعد من أهم العوامل الطبيعية المؤثرة في صحة الإنسان. حيث ترتفع درجات الحرارة بشكل ملحوظ وتقل كمية الأمطار؛ وترتب على ذلك ارتفاع نسبة التبخر، ويبلغ المتوسط السنوي لدرجة الحرارة في أسيوط ٢٤ درجة س، وترتفع درجة الحرارة بشكل واضح خلال أشهر الصيف لتصل إلى ٢٩,٥ درجة س، وتنخفض في الشتاء إلى ٥,٤ درجة س، والجدير بالذكر أن أقصى درجة حرارة سجلت في أسيوط بلغت ٥,٨٤ درجة س، وأدنى درجة حرارة سبلت (-٢) درجة س؛ وهو ما يعرف بالمناخ الصحراوي درجة أخرى، أما كمية المطر فهي ضئيلة للغاية؛ حيث يبلغ المتوسط السنوي للمطر حوالي ٢٠٠٠ ملم (الهيئة العامة للأرصاد الجوية، ٢٠٢٣).

ويعد مناخ أسيوط الأكثر ملائمة لانتشار القواقع المسببة للامراض مثل الفاشيولا والبلهارسيا، حيث تشير دراسة (Zanaty, et al., 2024) إلى أن زيادة حالات الإصابة باالفاشيولا في كل من أسيوط وسوهاج يرتبط بشكل رئيسي بارتفاع درجات الحرارة والرطوبة في تلك المناطق، بينما تشير دراسة (Asare, et al., 2025) إى زيادة الملاءمة لانتشار موائل البلهارسيا في شمال الدلتا بحلول ٢٠٧٠ في ضوء سيناريو RCP8.5 للتغيرات المناخية، وأن ارتفاع الحرارة ١٥س قد يزيد من الإصابة بالبلهارسيا بحوالي ١٤% إن لم تُطبَق إدارة متكاملة للمكافحة. وفي إطار ذلك يذكر (جاكس ماي) مقولته "سواء كان الإنسان يتأثر بالمناخ لدرجة تفقده حيويته وبعض القدرة على التحكم في بيئته، أو كانت الجراثيم واليرقات التي تهاجم كيانه وكثرة أعدادها حتى يصبح الإنسان فريسة لها وتنوعها في الأقاليم المدارية أكثر مما هي في الأقاليم المعتدلة؛ فإن هذه مشكلة معقدة حيث لا يمكن تحمل حلها" (دوجلاس لي، ١٩٦٢).

الدراسات السابقة:

اعتمدت الدراسـة الحالية على مراجعة الدراسـات الخاصـة بموضـوع القواقع (Snails) في قاعدة بيانات (Scopus)، و(Web of Science)، بتضمين مفردات البحث لكلمة القواقع (Snails)، حيث تم العثور على 55,537 ورقة بحثية في مختلف المجالات العلمية، وبتضمين كلمات البحث لتشمل المناخ والقواقع (Snails AND climate) تم العثور على ١٤٣١ بحث، وبتضييق مجال البحث ليتضمن كلمة الجغرافيا (Snails, climate AND geography) اشتملت النتائج على ٥٥ بحث تطرقت للبعد المكاني للقواقع، وبإقتصار مجال التحديد على البحوث الجغرافية للباحثين الجغرافيين تضمنت النتائج ٥ أبحاث (Scopus & WOS, 2024).

بدأت محاولات التنبؤ بالقواقع ومخاطرها الصحية وتحديد المناطق الموبوءة بما يرتبط بها من أمراض الأول مرة إعتمادًا على نظم المعلومات الجغرافية في الفلبين والبحر الكارببي بواسطة (Cross et al., 1984) في دراسته لانتشار مرض البلهاريسيا، وانتهت العديد من الدراسات إلى تأكيد تأثير المتغيرات المناخية والبيئية على توزيع القواقع (,Hughes, 2000; Epstein, 2004, Stensgaard et al. 2019)، إضافة إلى دراسة (Dube et al., 2023) التي ركزت على تأثير درجة الحرارة على سمات دورة حياة القواقع، كما ركزت عدة دراسات على توثيق علاقة المناخ بالقواقع في بيئات محددة مثل دراسية (Manning, Woolhouse & (Ndamba,1995) في زيمبابوي، ودراسة (Zein-Eddine et al., 2017) في مصر، ودراسة (Sil, Aravind & Karanth, 2019) في الهند، ودراسة (Okeke et al., 2020) في نيجيريا، ودراســـة (Okeke et al., 2020) أفريقيا جنوب الصحراء الكبرى، ودراسة (Guan et al., 2023) في شمال شرق الصين.

وتناولت عدة دراسات تحليل العوامل البيئية والمناخية الموثرة في توزيع القواقع إلى جانب المناخ كعامل رئيس ومنها دراسة (Stensgaard et al. 2013) عن العوامل واسعة النطاق التي تحدد توزيع قواقع الحلزون الوسيط لداء البلهاريسيا في جميع أنحاء أفريقيا، ودراسة (Wu et al., 2014) التي اعتمدت على تقنيات التحليل المكاني في النطاقات المثلى للعوامل البيئية للقواقع في الصين، ودراسة (al., 2022 في بحيرات أوغندا اعتمدت على نهج التعلم الآلي في تحديد العوامل التي تتحكم في توزيع القواقع، ودراسة (Galavani et al., 2024) في المحافظات الشمالية الغربية من إيران.

وقد ركزت عدد من الدراسات على تكامل التقنيات المكانية والأساليب الإحصائية في دراسة النتشار القواقع وإمكانات مكافحتها منها دراسة (Malone,1998) بوضع استراتيجية لمكافحة مرض الفاشيولا في إثيوبيا، ودراسة (Malone,1998) التي استهدفت السيطرة على مرض البلهارسيا في الصين، (Yang et al.,2005) ولاية ميناس جيرايس بالبرازيل. كما تطرق (Guimarães et al., 2008) في ولاية ميناس جيرايس بالبرازيل. كما تطرق دراسات أخرى للنمذجة التتبؤية بموائل القواقع وبيئتها مثل دراسة (2019) عن التنبؤ بملاءمة الموائل على أساس نموذج الحد الأقصى للإنتروبيا في المناطق الساحلية الجنوبية لبحر قزوين في إيران، ودراسة (Odaibo, 2022 Oso, Sunday & في جنوب غرب نيجيريا، ولم تكن الخرائط بعيدة عن بحوث القواقع لقد كان لرسم خرائط مرض البلهارسيا من الأولويات البحثية فقد قدمت دراسة (Suleiman, 2021 مقاطعة مويا، كينيا. وفي الأونة الأخير مع توفر البيانات المناخية وتطور استخدام المحتملة التقنيات المكانية والأساليب الإحصائية ظهرت دراسات تهتم بنمذجة المخاطر المحتملة من انتشار القواقع والتنبؤ بها، مثل دراسة (بالفليين باستخدام العوامل المناخية من الناهاراسيا في الفلبين باستخدام العوامل المناخية من التقيات المكانية والأساليب الإحصائية طهرت دراسات تهتم بنمذجة المخاطر المحتملة من انتشار القواقع والتنبؤ بها، مثل دراسة (بالفليين باستخدام العوامل المناخية من انتشار القواقع والتنبؤ بها، مثل دراسة في الفلبين باستخدام العوامل المناخية المناخية المخاطر البلهارسيا في الفلبين باستخدام العوامل المناخية المناخية المخاطر البلهارسيا في الفلبين باستخدام العوامل المناخية المناخية المناخية المخاطر البلهارسيا في الفلبين باستخدام العوامل المناخية المناخية المناخية المناخية المناخية المناخية المنافية المناخية المناخية المنافية في الفلبين باستخدام العوامل المناخية المثل المناخية ا

الحيوبة، وتعد دراسة (Magero, Kisara & Wade, 2021) من قامت بدراسة التوزيع الجغرافي للقواقع واظهار الاختلافات المكانية لها في شرق أفريقيا. وبناءًا على مراجعة الإنتاج الفكري المصري والعربي يتضح أن المكتبة الجغرافية العربية - على حد العلم- تخلو من بحوث جغرافية تطبيقية عن القواقع وعلاقتها بالظروف المناخية بالرغم من الحقيقة التي لا يمكن إنكارها وهي خطورة انتشار القواقع في البيئة المصربة واحتمالية اتساع نطاقها إستجابة لتغير المناخ.

وبتضح من استعراض الدراسات السابقة أنه بالرغم من التقدم الكبير المحرز في عدد الدراسات التي تناولت القواقع وخصائصها الحيوبة إلا أن غياب المعلومات البيئية التفصيلية عن القواقع وإقترانها بالتوزيع المكاني قد يحد من البحوث المستقبلية التي تقود إلى فهم شامل لبيئتها وإحكام دقيق لمكافحتها (Recopuerto-Medina et al., 2024)، ومما هو واضــح عن القواقع المائية والأمراض التي تسـببها في المناطق الاستوائية أنها مهملة عمليًا وبحثيًا وقد تم تجاهلها لعدة عقود وذلك بالرغم من أنها تؤثر عادة على الفقراء الذين يعيشون على أجور أقل من ٢ دولار أمربكي في اليوم، وخاصة في المناطق الربفية الفقيرة وكذلك المناطق الحضرية ذات الوصول المحدود إلى المرافق الصحية العامة (Adekiya et al., 2022). وقد أظهرت نتائج كافة الدراسات أن القواقع ذات حساسية شديدة للظروف المناخية، وأن المتغيرات المناخية الحيوبة تعد عوامل حاسمة في توزيع وانتقال العدوى مثل البلهارسيا، ويمكن أن تؤدي الظروف المناخية المتطرفة إلى عواقب صحية وخيمة، ولكن لم يتم رصد هذه التأثيرات والتداعيات بشكل تفصيلي ومن ثم هناك حاجة ملحة لمراجعة فهم تأثير المناخ على القواقع والآثار المحتملة لتغير المناخ ولا سيما الاحترار العالمي، على انتشار القواقع ومخاطرها الصحية كأمراض البلهارسيات والفشيولا، مما يزبد من القدرة على التنبق بالتأثيرات المستقبلية.

البيانات والأساليب وأدوات الدراسة:

اعتمدت الدراســة على بيانات القواقع التي تم جمعها من إدارة مكافحة القواقع بأسيوط من ٤٧ وحدة لمكافحة القواقع من الترع والمصـارف التي بلغ إجمالي أطوالها ٤٦٩٤ كم – شكل (٣)، وقد تضمنت البيانات عدد القواقع التي تم جمعها شهريًا على مدار خمس ســنوات خلال الفترة (٢٠١٩–٢٠٣). علاوة على بيانات الهيئة العامة للأرصاد الجوية لعناصر المناخ للفترة ٢٠١٩–٢٠٣٢ لمنطقة الدراسة، وبيانات النماذج المناخية وتقارير الهيئة الحكومية الدولية للتغيرات المناخية عي منطقة الدراسـة. واعتمدت الدراسـة على بيانات المرئيات الفضائية للقمر الصناعي Landsat 8/9 TIRS القناة للمعادرات ونك وفقًا للمعادلات التالية (Lst والمدتر) للفترة (Lst والك. وذلك وفقًا للمعادلات التالية (Lst والمدتر) (Survey, 2019):

(Top of إلى الإشعاع الطيفي Digital Numbers (DN) ا. تحويل. Atmosphere Spectral Radiance - Lλ):

$$_{L}A + _{cal}Q \times _{L}M = _{\lambda}L$$

حيث:

- $W/(m^2 \cdot sr \cdot \mu m)$ الإشعاع الطيفي بوحدة: λL •
- MTL معامل التحجيم الإشعاعي (Radiance Multiplier) من ملف الـLM
 - MTL من ملف الـ (Radiance Add) من ملف الـ $_LA$
 - (Digital Number DN) قيمة البيكسل $_{cal}Q$ •

(Brightness Temperature : تحويل الإشعاع إلى درجة حرارة الجسم الأسود: BT) - BT)

$$\frac{{}_2\!K}{\ln\left(\frac{{}_1\!K}{{}_\lambda\!L}+1\right)}={}_B\!T$$

حيث:

- (Kelvin) درجة الحرارة الساطعة بالكلفن *
- MTL من ملف TIRS من ملف $_{2}K$, $_{1}K$
 - :Landsat 8/9 Band 10" •

W/(m²·sr·
$$\mu$$
m) $774.8853 = {}_1K$ "Kelvin $1321.0789 = {}_2K$

٣. تصحيح الإشعاع بناءً على معامل الانبعاثية: (Emissivity Correction)

لحساب درجة حرارة سطح الأرض (LST)، نحتاج لتصحيح الحرارة الساطعة باستخدام الانبعاثية:

$$rac{{}_BT}{\ln(arepsilon)\cdot\left(rac{{}_B\lambda\cdot T}{
ho}
ight)+1}=LST$$

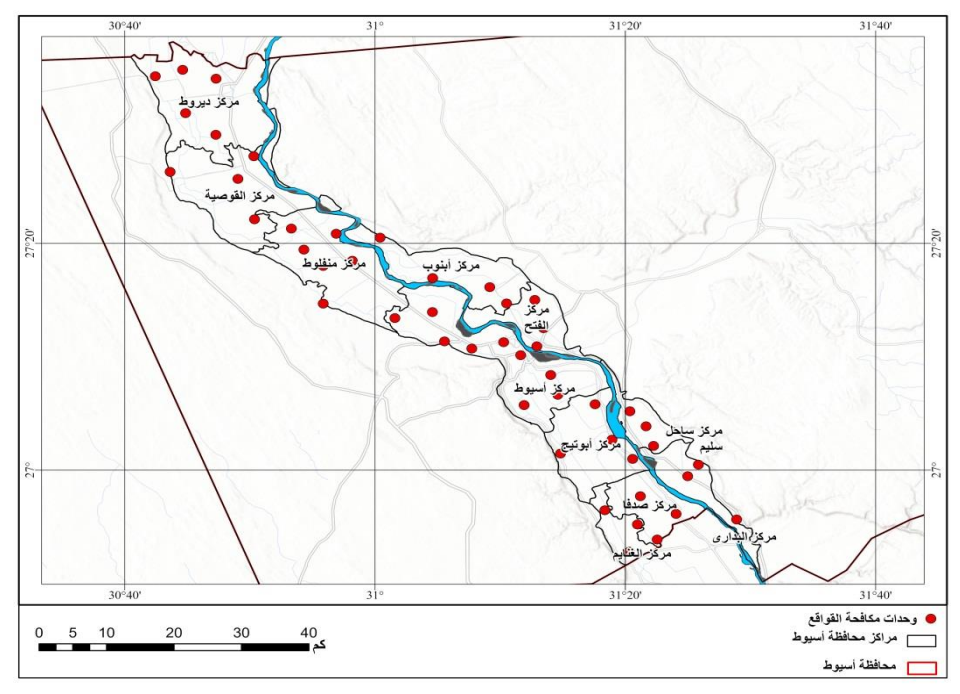
حيث:

- TIRS-10 الطول الموجي لقناة: $\mu m\,10.895=\lambda$
 - $m \cdot K^{2-} 10 imes 1.438 = c/\sigma \cdot h =
 ho$ •
- وعامل الانبعاثية (يعتمد على نوع السطح: الماء، التربة، النبات...) arepsilon

Soil Moisture واعتمدت الدراســـة على بيانات رطوبة التربة الســطحية المستخرجة من بيانات الأقمار الصناعية التابعة لوكالة ناسا NASA الفضائية بالتعاون مع (USDA-NASA Hydrology Satellite Lab, 2020; and USDA مع NASA Hydrology Satellite Lab, 2020; and USDA مصروع رطوبة التربة النشطة السلبية (Soil Moisture Active Passive (SMAP)، تحت اســم مشــروع رطوبة التربة السـطحية لنطاق يتراوح بين --0 سـم عمقًا، وبدقة مكانية تتراوح بين --1 كم للخلية الواحدة، وتقاس البيانات فيها بوحدة متر مكعب من الماء لكل متر مكعب من التربة (-5)1 وذلك خلال فترة الدراسة (-5)1 من التربة (-5)2 والله عنه المراسة (-5)3 وذلك خلال فترة الدراسة (-5)4 من التربة ((-5)4 من الماء المراسة (-5)4 من التربة ((-5)4 من الماء المراسة (-5)4 من التربة ((-5)4 من الماء المراسة (-5)4 من التربة ((-5)4 من التربة ((-

ونظرًا لأن القواقع ككائنات حية والأمراض الناتجة عنها يتم تحديدها في المكان والزمان من خلال عوامل الخطر، فإن نظام المعلومات الجغرافية يعد أداة قوية للغاية يمكن استخدامها لفهم انتشار المرض، كما يسمح الاستخدام المشترك لها مع التقنيات الإحصائية بتحديد عوامل الخطر وتحديد المواقع الجغرافية لمناطق الخطر والتنبؤ بها مما يؤدي إلى اختيار استراتيجيات أفضل للسيطرة عليها والتنبؤ بمخاطرها. واعتمدت مما يؤدي إلى اختيار استراتيجيات أفضل للسيطرة عليها والتنبؤ بمخاطرها. واعتمدت الدراسة على تقنيات نظم المعلومات الجغرافية في تحليل ونمذجة الاختلافات المكانية لتوزيع القواقع والعناصر المناخية، واستخدمت الدراسة حزمة برامج (Arc GIS) لتوريع القواقع والعناصر المناخية والتحليل المكاني ورسم الخرائط، حيث تستخدم التحليل الجيو إحصائي (Geo - Statistical Analyst) لتقديم التفسير والاستنتاج المكاني لتحديد خريطة الكاملة لتوزيع القواقع، علاوة على استخدام النماذج الرياضية والتحليلات المكانية للمخاطر الصحية للقواقع في محافظة أسيوط، وبناء نموذج معلومات جغرافي لإنشاء خرائط الاخطار المحتملة للقواقع في محافظة أسيوط في ظل الظروف المناخية الحالية وتغيراتها المحتملة في ٢٠٠٠، و٢٠١٠. كما تستخدم الدراسة التحليل الإحصائي عن البقع الساخنة (Hot spots) ليكشف القيم المرتفعة (الساخنة) والقيم المرتفعة (الساخنة) والقيم

المنخفضة (الباردة) لتركز القواقع عبر الامتداد الجغرافي لمنطقة الدراسة، كما استعانت الدراسـة بالانحدار الموزون جغرافيًا (GWR) في تحليل الارتباط المكاني بين توزيع القواقع المصابة والأمراض المرتبطة بها.



شكل (٣) مواقع وحدات مكافحة القواقع بمنطقة الدراسة

المناقشة والنتائج:

١/ بيئة القواقع وأنماطها بمنطقة الدراسة:

تنتمى القواقع لشعبة الرخوبات (Mollusca)، وهي مجموعة كبيرة ومتنوعة من الحيوانات اللافقارية، وتلعب دورًا هامًا في السلاسل الغذائية البحرية والبرية، وهي ثاني أكبر شعبة حيوانية بعد مفصليات الأرجل، وتضم حوالي ٧٥ ألف نوع موصوف موجود منها حوالي ٢٠٠٠-٧٠٠٠ نوع صالح للمياه العذبة. وتُعد الرخويات التي تعيش في المياه العذبة مصدرًا غذائيًا رئيسيًا للمستويات الغذائية الأعلى وتُظهِر تفاعلات بيئية معقدة ومتعددة مع بيئتها، كما أنها مناسبة جدًا للمراقبة البيولوجية لأنها حساسة للتغيرات الكيميائية في الماء والرواسب. وتتمتع الرخويات بالقدرة على التقاط كميات كبيرة من المواد المعلقة، والتحكم في الإنتاج الأولي وإعادة تدوير العناصبر الغذائية، وتجميع العديد من الملوثات، وكل هذا يؤكد دورها في النظم البيئية واستخدامها كوكلاء للمراقبة البيولوجية (Koudenoukpo et al., 2021).

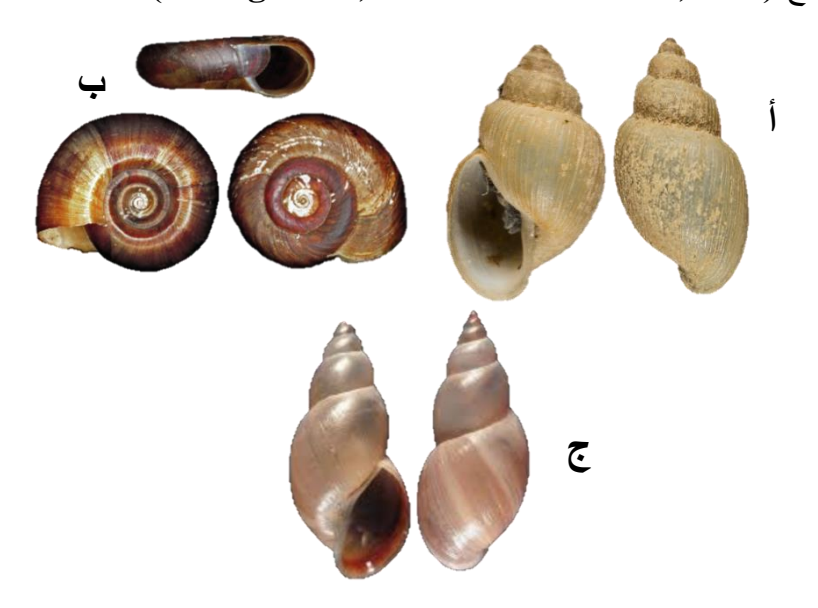
ويتحكم في التوزيع الجغرافي للكثافه المكانية للقواقع عدة عوامل منها: مواسم سعوط الأمطار وما ينتج عنها من فياضانات وموجات الجفاف، ورطوبة التربة، ودرجات الحرارة. حيث تتغذى وتتزاوج القواقع في ظروف مناخية ملائمة، وقد وجد أن وظائفها البيولوجية تزداد في ظل ظروف مناخية محددة، كما أن ظروف المناخ وشدة الضوء ونوع الغذاء تؤثر بشكل مباشر على زيادة النشاط الحركي للقواقع، ومع انخفاض درجات الحرارة تبدأ القواقع في دخول مرحلة من مراحل نشاطها الحيوي وهو البيات الشتوي (الوكيل، ۲۰۱۰). ووفقًا لبيانات إدارة مكافحة القواقع بمحافظة أسيوط، تنتشر بشبكة الترع والمصارف في المحافظة ٣ أنواع رئيسة من القواقع تتمثل فيما يلى:

• بولینس (Bulinus):

هو جنس من القواقع الصخيرة التي تعيش في المياه العذبة وهي من الرخويات المائية والقواقع ذات القرون الكبيرة. وقد تم تمييز ٣٧ نوع من هذا الجنس، وينتشر على نطاق واسع في جميع أنحاء إفريقيا وجزر شرق إفريقيا وبعض المناطق في الشرق الأوسط والبحر الأبيض المتوسط (Babbitt et al., 2023). تعيش حلزونات المياه العذبة في أنواع مختلفة من الموائل العابرة مثل أنظمة الري والأنهار والبرك، وتؤدي الاختلافات الزمنية والجغرافية في الظروف البيئية إلى تقلبات كبيرة في أحجام تجمعات هذه القواقع. ويعد هذا القوقع أهم عائل للطفيل المسؤول عن داء البلهاريسيا البولية التناسلية (Zein-Eddine et al., 2017).

• بيومفالاريا (Biomphalaria):

يعد هذا الجنس من القواقع مهم طبيًا لأن القواقع يمكن أن تحمل طفيليًا يصيب البشر ويمثل خطرًا كبيرًا للإصلاب بالأمراض، حيث تعمل هذه القواقع كمضيف وسيطناقل لديدان الدم الطفيلية البشرية، والتي تصيب الديدان المثقوبة عن طريق ملامسة الماء الذي يحتوي على يرقات البلهارسيا (السركاريا) والتي سبق إطلاقها من القواقع. وتحدث العدوى عن طريق اختراق السركاريا من خلال الجلد (et al., 2024 من القواقع. وهنالك حوالي ٣٥ نوعًا موجودًا في جنس البيومفالاريا في المجموع (٢١ نوعًا أمريكيًا و ١٤ نوعًا من العالم القديم)، ومن بين هذه المجموعات قامت ١٤ أنواع مؤخرًا بتوسيع نطاقاتها الأصلية وتم إدخالها إلى المناطق التي تكون فيها أنواع أخرى متوطنة (مثل الكونغو ومصر) أو إلى المناطق شبه الاستوائية التي لا توجد بها فترة صقيع (Hailegebriel, Nibret & Munshea,2022).



المصدر: نقلًا عن (Khalafala, 2020, Babbitt et al., 2023; Hailegebriel, Nibret &). المصدر: نقلًا عن (Munshea, 2022

صور (١): أشكال القواقع المنشرة في محافظة أسيوط أ- بولينيس ب- بومفالاريا جليمنيا كايودى

• ليمنيا كايودي (Lymnaea Cailliaudi):

وهو جنس من القواقع الصــغيرة إلى الكبيرة الحجم التي يمكن أن تتنفس في الهواء، وتسمى بقواقع البرك. وبعمل العديد من أنواع قواقع الليمنيا كمضيف وسيط للديدان المثقوبة التي تتسبب في داء الفاشيولا هو مرض طفيلي مهم يصيب الحيوانات ويسبب خسائر اقتصادية سنوية تقدر بأكثر من ٣ مليار دولار أمريكي في الحيوانات، وبصل معدل الإصابة به لدى أكثر من ١٨٠ مليون شخص في جميع أنحاء العالم (Dube et al., 2023). وعلى الرغم من أنه نادر الحدوث لدى البشر، فإن معدل انتشار داء الفاشيولا البشري المتوقع والعبء المرضي المتوقع له كبير وفقًا لمنظمة الصحة العالمية، وقد تم الإبلاغ عن داء الفاشيولا البشري في أكثر من ٧٠ دولة، مع إصابة ما لا يقل عن ٢,٤ مليون شخص في جميع أنحاء العالم وعدة ملايين آخرين معرضين للخطر (WHO, 2023). وتعتبر القواقع التي تعيش في المياه العذبة ضمن عائلة الليمنيا ذات أهمية كبيرة بسبب مشاركتها في دورة حياة العديد من الديدان المثقوبة ذات الأهمية الطبية الحيوبة والبيطربة، وقد تم وصف حوالي ٢٠ نوعًا من القواقع الليمنية على أنها العوائل الوسيطة المحتملة لمرض الفشيولا (Dube et al., 2023). وتؤكد دراسة (Khalafala, 2020) أن المرض ينتشر حاليًا بين الحيوانات في محافظتي أسيوط وسوهاج مما يبرر الحاجة الملحة لتطبيق تدابير المكافحة المناسبة فضلًا عن تقييم العبء الحيواني المستمر المحتمل لدى الأشخاص المقيمين في مثل هذه المناطق.

٢/ شبكة الري والصرف في منطقة الدراسة:

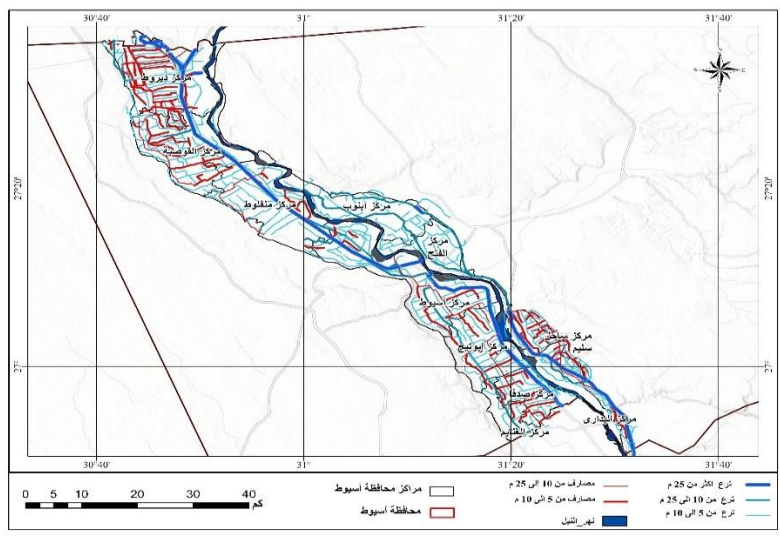
بالرغم من الدور المهم الذي تؤديه الزراعة المروية في توفير الإمدادات الغذائية اللازمة لمواكبة الزيادة في عدد سكان العالم إلا أن التغيرات البيئية الناتجة عن تطوير الزراعة المروية غالبًا ما تؤدي إلى مشاكل صحية عامة خطيرة (Rainey &). ويرتبط انتقال الأمراض الطفيلية بمشاريع

الري، والتي يمكن أن توسع الموائل المناسبة للقواقع المضيفة، وزيادة إنتاج واصابة ناقلات القواقع، وزيادة الاتصال بين الإنسان والسركاريا المعدية، وقد يتسبب التلوث الكيميائي الزراعي في زيادة حدوث اضطرابات بيئية مماثلة تؤدي إلى زيادة موارد القواقع، أو قتل الحيوانات المفترسة لها (Kopolrat et al., 2020).

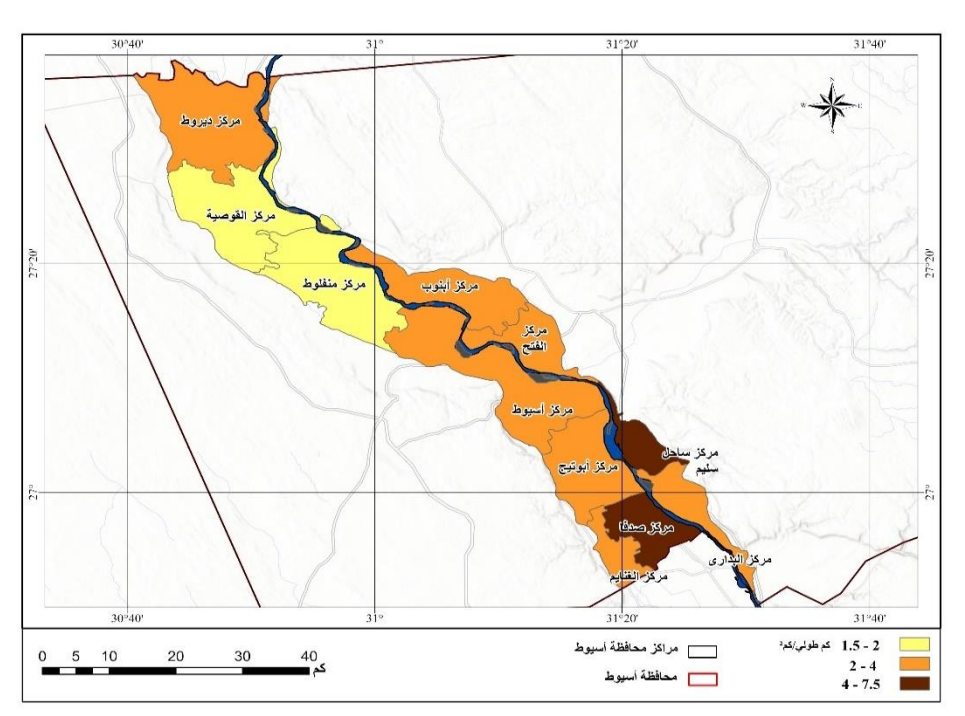
جدول (١) كثافة شبكة الترع والمصارف في محافظة أسيوط

	إجمالي الترع		ارف	المص		الجنابيات	ىنىسىة	ترع		
ا <u>ل</u> كثافة كم/ كم٢	نابیات سار ف %	والم <u>ح</u> طول	طول (كم)	2125	إجمالي الأطوال (كم)	طول (كم)	طول (كم)	325	المساحة (كم٢)	المراكز
3.64	18.3	(کم) 859	80	4	779	413	366	65	236	أسيوط
3.6	15.96	749	157	36	592	288	304	77	208	ديروط
1.74	6.82	320	69	12	251	91	160	41	184	القوصية
1.56	7.2	338	56	7	282	54	228	40	217	منفلوط
2.01	8.5	399	26	1	373	176	197	52	199	أبنوب
3.23	7.22	339	8	3	331	180	151	30	105	الفتح
7.49	11.65	547	90	20	457	302	155	36	73	ساحل سليم
2.35	4.6	216	62	14	154	-50	204	50	92	البداري
3.57	9.67	454	62	9	392	178	214	39	127	أبو تيج
4.51	7.5	352	2	1	350	248	102	18	78	صدفا
2.81	2.58	121	7	1	114	13	101	19	43	الغنايم
3.00	100	4694	619	108	4075	1893	2182	467	1562.6	الإجمالي

المصدر: وزارة الري والموارد المائية، مديرية الري بأسيوط، بيانات غير منشورة، ٢٠٢٣.



شكل (٤) شبكة المجاري المائية في محافظة أسيوط



شكل (٥) كثافة شبكة المجاري المائية في محافظة أسيوط

يتبين من الجدول (١) وشكلا (٤، و٥) ان إجمالي شبكة المجاري المائية في محافظة أسيوط بلغ ٤٥٩٤ كم منها ٢١٨٢ كم ترع رئيسية، بلغ عددها حسب تقسيمها على خريطة وزارة الري والموارد المائية إلى ٤٦٧ ترعة، يخدم هذه الترع ١٠٨ مصرف بطول يبلغ ٦١٩ كم، في حين يبلغ أطول الجنابيات الفرعية التي تخترق الأراضيي الزراعية متفرعة من الترع الرئيسـية ١٨٩٣ كم، وجغرافيًا يســتأثر مركز أسـيوط بنحو ١٨,٣ % من جملة المجاري المائية، يليه مركز ديروط بنحو ١٥,٩ % بذلك يستحوذ المركزان على أكثر من ثلث المجاري المائية في المحافظة ٣٤,٢٥%، في حين يأتي مركز الغنايم في الترتيب الأخير بنسبة ٢,٥٨% من إجمالي المجاري المائية في المحافظة. وفيما يتعلق بالكثافة المكانية لشبكة المجاري المائية كنظام بيئي للقواقع ومؤشر للدلالة على كثافة انتشار القواقع فإن معدلها العام في المحافظة بلغ ٣ كم/ كم2 من المساحة، وترتفع الكثافة لتصل أقصاها في مركز ساحل سليم بكثافة ٧,٤٩ كم/

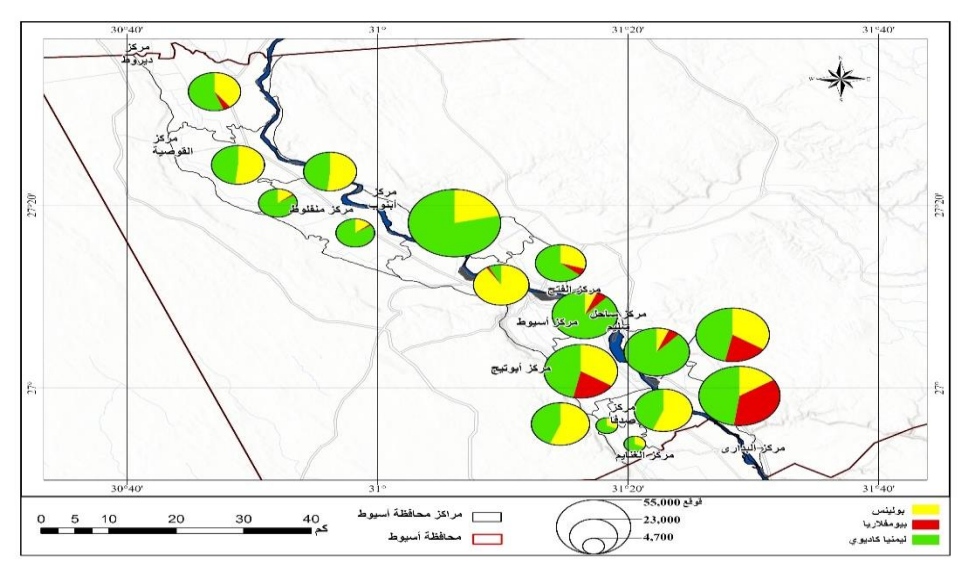
كم2، يليها مركز صدفا بنحو ٤,٥١ كم/ كم2، في حين تتخفض الكثافة إلى أدناها في مركزى القوصية ومنفلوط لتقل عن ٢ كم/ كم2.

٣/ التوزيع العام للقواقع في مراكز المحافظة:

جدول (٢) توزيع القواقع المائية في مراكز محافظة أسيوط خلال الفترة (٢٠١٩: ٢٠٢٣)

لي	إجما		منيا كايودي	لي		بيومفالاريا			المراكز		
%	375	%	%	عدد	%	%	212	%	%	عدد	الفرادر
7.80	23977	7.44	1.01	1785	1.46	1.21	351	91.09	21.59	21841	أسيوط
7.01	21559	55.62	6.76	11991	4.52	3.36	974	39.86	8.49	8594	ديروط
7.19	22100	48.28	6.01	10669	0.00	0.00	0	51.72	11.30	11431	القوصية
4.14	12726	84.36	6.05	10736	1.65	0.72	210	13.99	1.76	1780	منفلوط
18.98	58383	78.56	25.86	45868	0.00	0.00	0	21.44	12.37	12515	أبنوب
6.62	20354	63.70	7.31	12965	6.28	4.41	1279	30.02	6.04	6110	الفتح
10.38	31937	88.31	15.90	28204	5.57	6.14	1779	6.12	1.93	1954	ساحل سليم
15.14	46561	47.83	12.55	22268	36.32	58.35	16912	15.85	7.29	7381	البداري
12.72	39110	46.70	10.30	18265	19.13	25.81	7480	34.17	13.21	13365	أبوتيج
8.47	26043	44.08	6.47	11481	0.00	0.00	0	55.92	14.39	14562	صدفا
1.50	4612	68.39	1.78	3154	0.00	0.00	0	31.61	1.44	1458	الغنايم
100.00	307551	57.68	100.00	177386	9.42	100.00	28985	32.90	100.00	101180	الإجمالي

المصدر: اعتمادًا على وزارة الصحة، إدارة مكافحة القواقع بأسيوط، بيانات غير منشورة، (١٠١٩: ٢٠٢٣).



شكل (٦) توزيع القواقع المنتشرة في محافظة أسيوط

يتضـح من التحليل الجغرافي لجدول (٢) وشـكل (٦) الصـورة العامة لتوزيع القواقع المائية الثلاثة المنتشـرة بشـبكة الترع في مراكز محافظة أسـيوط، وفقًا لبيانات رصد وحدات مكافحة القواقع بالمحافظة خلال الفترة ٢٠١٩- ٢٠٢٣، ومنهما يلاحظ:

- إن إجمالي عداد القواقع المنتشرة في محافظة أسيوط بلغ 307,551 قوقعًا، استحوذ قوقع ليمينا كاديوى على أكثر من نصف عدد القواقع المائية انتشارًا بمراكز المحافظة بنحو ٧,٧٥% من إجمالي العدد، بينما قوقع بولينس في المرتبة الثانية بنسبة ٣٢,٩%، وفي المرتبة الثالثة والأخيرة جاء قوقع بيومفالاريا بنسبة ٩,٤% من إجمالي أعداد القواقع المنتشرة بشبكة الترع في مراكز المحافظة.
- يعد مركز أبنوب أكبر المراكز بالنسبة للتوزيع العددي لانتشار القواقع المائية حيث استحوذ على ١٨,٩% من إجمالي أعداد القواقع، يليه مركز البداري بنحو ١٥,١%، ثم مركز أبو تيج بنسبة ١٢,٧ %؛ ليستحوذ الثلاثة مراكز على أقل قليلا من نصف التوزيع العددي للقواقع المنتشرة، بينما ســجل مركزي الغنايم ومنفلوط أقل المراكز بالنسبة لعدد القواقع بنحو ١٠,٥%، ٤,١% لكل منهما على التوالي.
- استحوذ مركز أسيوط، وصدفا، وابوتيج، على نصف التوزيع العددي للقوقع بمراكز المحافظة تقريبا. حيث بلغ ٢١,٦ %، ١٣,٢ % لكل منهم على التوالي من إجمالي التوزيع. بينما ســـجل مركزي الغنايم، ومنفلوط أقل المراكز لانتشار قوقع بولينس بنحو ١,٨ %، ١,٨ % لكل منهما على التوالي. وذلك لقوقع بولينس.
- استحوذ مركزي البداري، وأبو تيج، على ٨٤,١% من إجمالي التوزيع للقوقع بمراكز المحافظة، باستثناء مركز المحافظة، باستثناء مركز القوصية، أبنوب، صدفا، والغنايم، لم يرصد انتشارا للقوقع في هذه المراكز. وذلك لقوقع بيومفالاريا.

- استحوذ مركز أبنوب، ساحل سليم، والبدراي على أكثر من نصف التوزيع العددي لأنتشار القوقع المرصود بالنسبة لمراكز المحافظة، بينما سجل مركز أسيوط، والغنايم أقل المراكز في انتشار القوقع بنحو ١%، ١,٨% لكل منهما على التوالي. وذلك لقوقع ليمنيا كاديوي.

يتضح مما سبق أن هناك تباين مكاني في انتشار القواقع بين مراكز المحافظة، حيث يحتل مركز أسيوط صدارة المراكز في انتشار لقوقع بولينس، وهو أقل المراكز لانتشار قوقع ليمنيا كاديوي. كذلك مركز البداري الذي يعد أكبر المراكز لانتشار قوقع بيومفالاربا، وهو من أقل المراكز انتشارًا لقوقع بولينس. كذلك مركز أبنوب الذي يعد أكبر المراكز لانتشار قوقع ليمنيا كاديوي، وهو من أقل المراكز لانتشار قوقع بولينس، وبنعدم رصد قوقع بيومفالاربا به.

٤/الكثافة المكانية للقواقع في محافظة أسيوط: جدول (٣) الكثافة المكانية للقواقع في محافظة أسيوط (قوقع/ كم من المجاري المائية)

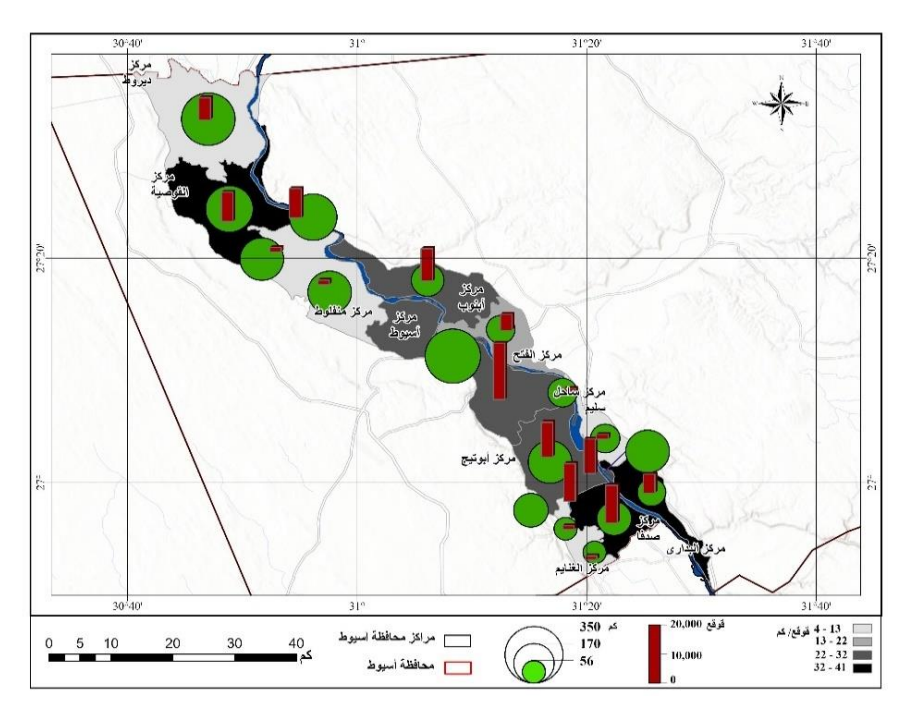
` -	1 , • /	# -		` '
إجمالي	ليمنيا كايودي	بيومفالاريا	بولينس	المراكز
27.91	2.08	0.41	25.43	أسيوط
28.78	16.01	1.30	11.47	ديروط
69.06	33.34	0.00	35.72	القوصية
37.65	31.76	0.62	5.27	منفلوط
146.32	114.96	0.00	31.37	أبنوب
60.04	38.24	3.77	18.02	الفتح
58.39	51.56	3.25	3.57	ساحل سليم
215.56	103.09	78.30	34.17	البداري
86.15	40.23	16.48	29.44	أبوتيج
73.99	32.62	0.00	41.37	صدفا
38.12	26.07	0.00	12.05	الغنايم
65.52	37.79	6.17	21.56	الإجمالي

المصدر: اعتمادًا على وزارة الصحة، إدارة مكافحة القواقع بأسيوط، بيانات غير منشورة، (٢٠١٩: .(7.77

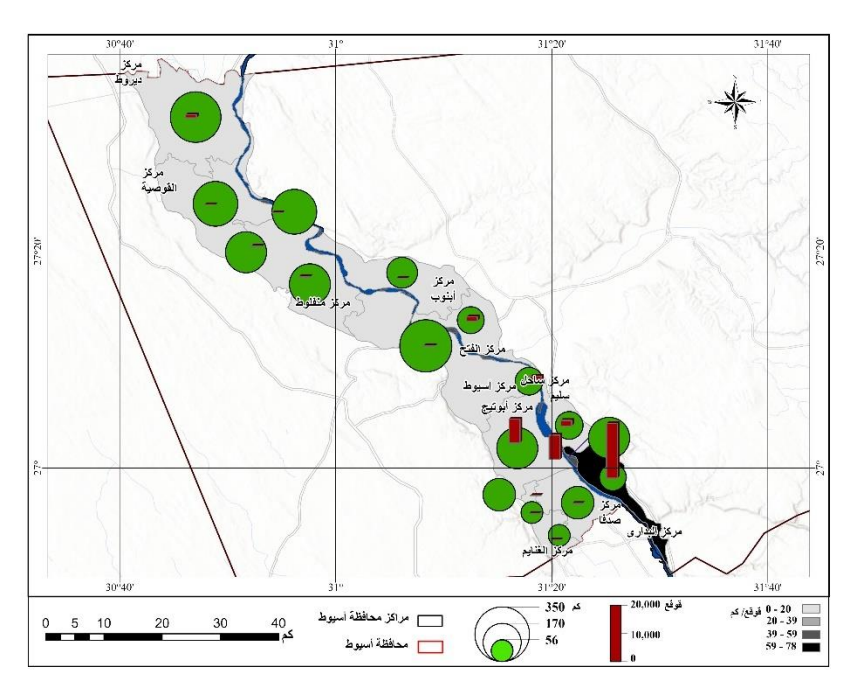
يتضح من التحليل الجغرافي لجدول (٣) وشكل (٧) الكثافة المكانية للقواقع في محافظة أسيوط كمؤشر للدلالة على مدى انتشارها بشبكة الترع في مراكز المحافظة، بناءً على بيانات رصد وحدات مكافحة القواقع بالمحافظة خلال الفترة ٢٠١٩–٢٠٢٣، ومنهما يلاحظ:

- يبلغ المعدل العام في المحافظة ٥٥،٥ قوقع/كم، وترتفع الكثافة لتصل أقصاها في مركز البداري بكثافة قدرها ٢١٥،٦ قوقعا/كم، يليها مركز أبنوب بنحو ٢١٥،٣ اقوقعا/كم، ثم مركز صدفا بكثافة تصل إلى ٨٦,٢ قوقعا/كم، في حين تتخفض الكثافة إلى أدناها في مركزي أسيوط وديروط حيث تقل عن ٣٠ قوقعا/كم.
- يبلغ المعدل العام لكثافته المكانية في المحافظة ٢١,٦ قوقعا/ كم. ترتفع كثافة القوقع لتصل أقصاها في مراكز صدفا، والقوصية، والبداري بكثافة قدرها ٤١,٤ قوقعا/كم، ٣٥,٧ قوقعا/كم لكل منهم على التوالي. وتتخفض الكثافة إلى أدناها في مركزي ساحل سليم، ومنفلوط، حيث تقل لتصل إلى ٣٦,٦ قوقعا/كم، ٥,٣ قوقعا/كم، لكل منهما على التوالي. وذلك لقوقع بولينس.
- يبلغ المعدل العام لكثافته المكانية في المحافظة ٦,٢ قوقعا/كم. ترتفع كثافة القوقع لتصل أقصاها في مركز البداري بكثافة قدرها ٧٨,٣ قوقعا/كم، يليه مركز أبو تيج ١,٥ اقوقعا/كم. وتتخفض الكثافة إلى أدناها في باقي مركز المحافظة حيث تقل عن ٤ قوقع/كم، وينعد وجود القوقع في مراكز القوصية، أبنوب، صدفا، والغنايم. وذلك لقوقع بيومفالاريا.
- بلغ المعدل العام لكثافته المكانية في المحافظة ٣٧,٨ قوقعا/كم. ترتفع كثافة القوقع لتصل أقصاها في مركزي أبنوب، والبداري بكثافة قدرها ١٠٣,١، ١٠٥ قوقعا/كم لكل منهما، وتتخفض الكثافة إلى أدناها في مركزي أسيوط، وديروط، حيث تقل لتصل إلى ٢,١ قوقعا/كم، ١٦ قوقعا/كم، لكل منهما على التوالي. وذلك لقوقع ليمنيا كاديوي.

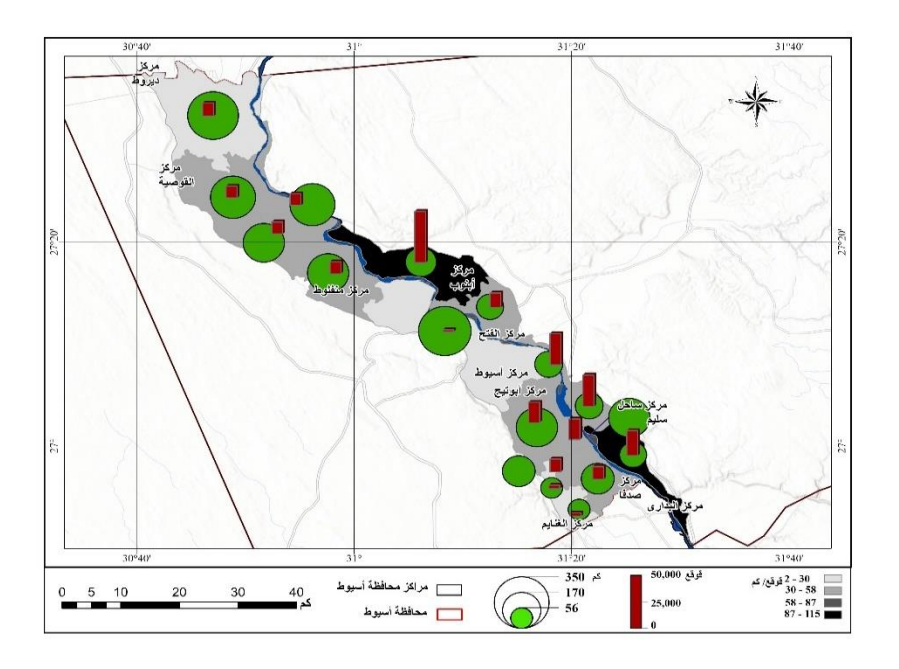
يتضبح مما سبق أن هناك توافق مكاني بين مناطق الانتشار وكثافة الانتشار للقواقع بين مراكز المحافظة؛ يعد فية مركز أسيوط أقل المراكز انتشارا لقوقع ليمنيا كاديوى وهو أقل المراكز في كثافة انتشار القوقع، كذلك مركز البداري الذي يعد أكبر المراكز لانتشار قوقع بيومفالاريا، وهو من أكبر المراكز في كثافة انتشار القوقع. كذلك مركز أبنوب الذي يعد أكبر المراكز لانتشار قوقع ليمنيا كاديوى، وهو أكبر المراكز في كثافة انتشار القوقع. في حين يختلف هذا التوافق المكاني فقط بالنسبة لقوقع بولينس حيث ان مركز البداري هو أقل المراكز في انتشار القوقع، بينما هو من أكبر المراكز في كثافة الانتشار للقوقع.



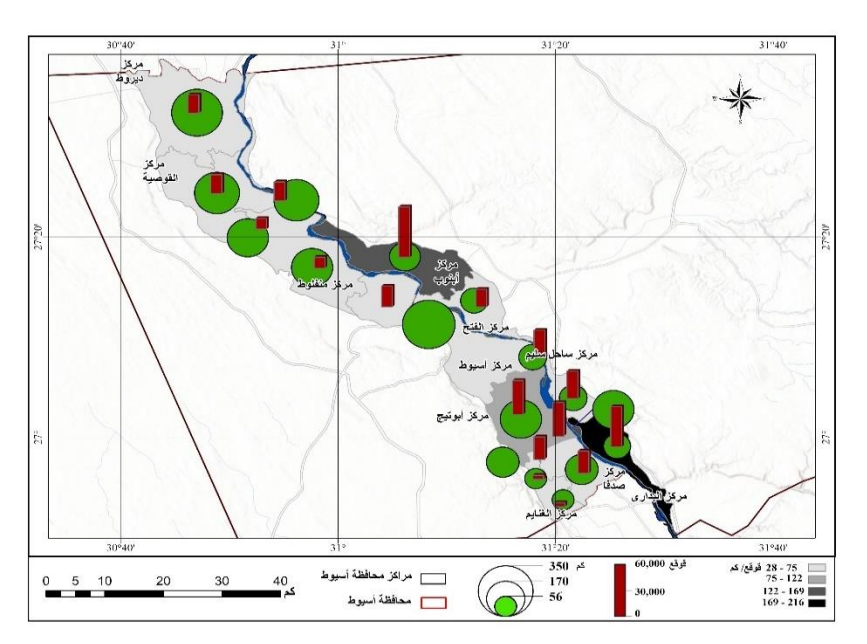
أ) بولينس



ب) بيومفالاريا



ج) ليمنيا كاديوي



د) اجمالي القواقع المائية شكل (٧) الكثافة المكانية للقواقع المائية في شبكة المجاري المائية بمحافظة أسيوط

٥/ التباينات الموسمية للقواقع في محافظة أسيوط:

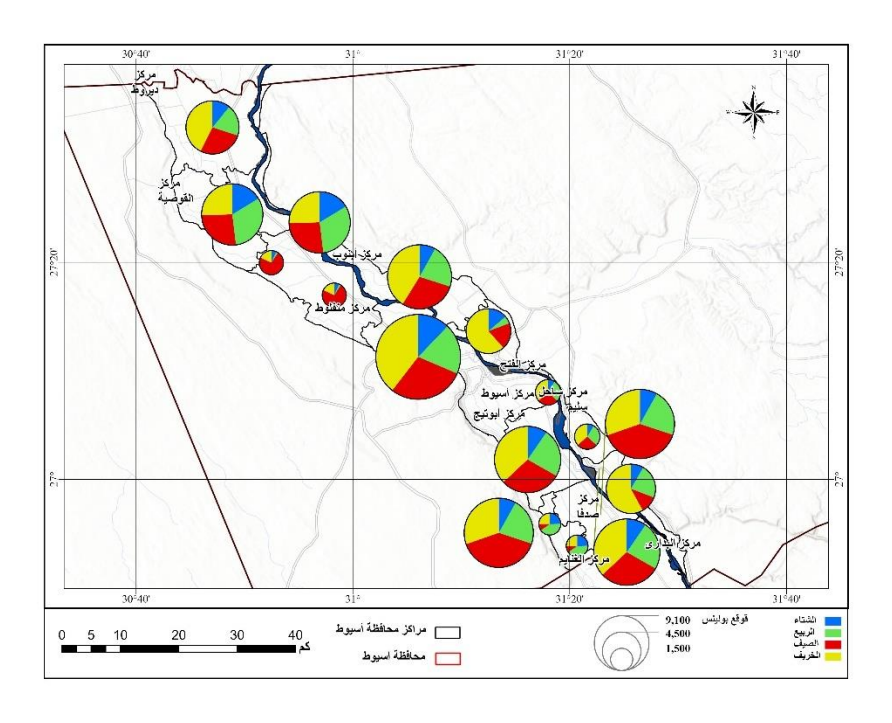
يتضح من التحليل الجغرافي لجدول (٤) وشكل (٨) التباين الموسمي لإجمالي للقواقع، والتغيرات المكانية الزمنية للقواقع الثلاثة محل الدراســة بالمجاري المائية في مراكز محافظة أسيوط، كمؤشر للدلالة على مدى العلاقة بين انتشار القواقع بشبكة الترع واختلاف الظروف المناخية على مدار العام، خلال الفترة ٢٠١٩ - ٢٠٢٣، ومنهما يتضح ما يلى:

جدول (٤) التبانات الموسمية للقواقع في محافظة أسيوط خلال الفترة (٢٠١٩: ٢٠٢٣)

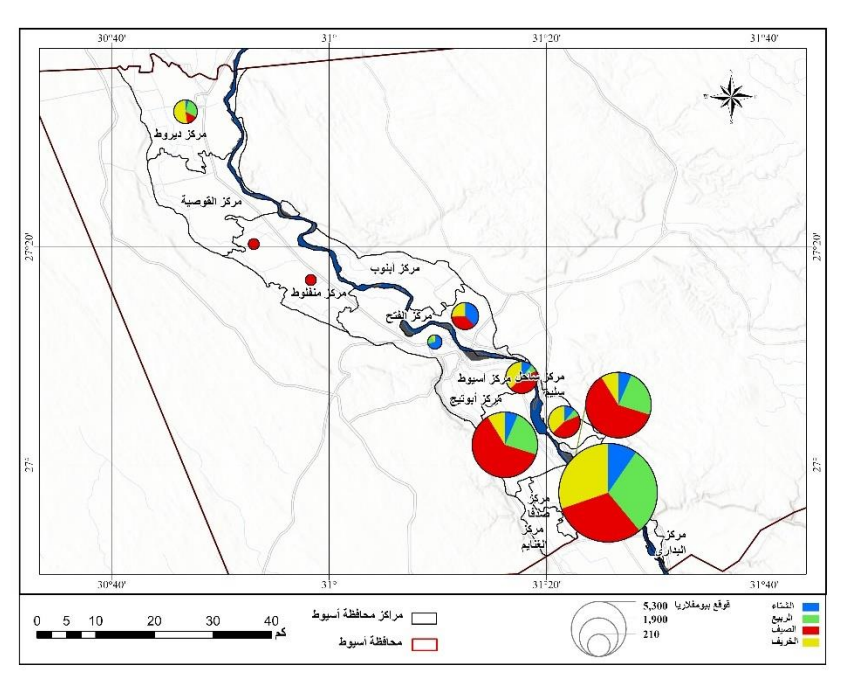
	الشتاء الربيع الصيف الخريف											
	بولينس											المراكز
%	%	عدد	%	%	عدد	%	%	عدد	%	%	عدد	
39.52	21.94	8631	29.06	21.84	6348	19.28	19.35	4210	12.14	24.07	2652	أسيوط
42.60	9.31	3661	27.44	8.11	2358	19.14	7.56	1645	10.82	8.44	930	ديروط
25.41	7.38	2905	26.51	10.43	3030	31.76	16.68	3630	16.32	16.94	1866	القوصية
18.09	0.82	322	72.81	4.46	1296	2.53	0.21	45	6.57	1.06	117	منفلوط
41.17	13.10	5152	28.91	12.45	3618	21.89	12.59	2740	8.03	9.12	1005	أبنوب
61.64	9.57	3766	19.05	4.00	1164	5.56	1.56	340	13.75	7.63	840	الفتح
36.54	1.81	714	26.71	1.80	522	28.15	2.53	550	8.60	1.53	168	ساحل سليم
57.95	10.87	4277	11.30	2.87	834	22.42	7.61	1655	8.33	5.58	615	البداري
36.98	12.56	4942	29.81	13.71	3984	23.61	14.50	3155	9.61	11.66	1284	أبوتيج
30.33	11.23	4417	39.60	19.84	5766	21.98	14.71	3200	8.10	10.70	1179	صدفا
24.97	0.93	364	9.88	0.50	144	40.47	2.71	590	24.69	3.27	360	الغنايم
38.88	100.00	39340	44,44	100.00	29064	21.51	100.00	21760	10.89	100.00	11016	الإجمالي
					فالاريا	بيومة						:<1 11
%	%	325	%	%	325	%	%	326	%	%	325	المراكز
9.97	0.48	35	0.00	0.00	0	19.94	0.97	70	70.09	8.01	246	أسيوط
52.36	6.97	510	15.09	1.29	147	28.23	3.82	275	4.31	1.37	42	ديروط
	0.00	0		0.00	0		0.00	0		0.00	0	القوصية
0.00	0.00	0	100.00	1.84	210	0.00	0.00	0	0.00	0.00	0	منفلوط
	0.00	0		0.00	0		0.00	0		0.00	0	أبنوب
25.80	4.51	330	36.67	4.11	469	0.00	0.00	0	37.53	15.63	480	الفتح
37.38	9.08	665	44.07	6.88	784	7.59	1.88	135	10.96	6.35	195	ساحل سليم
30.27	69.95	5120	30.75	45.61	5201	29.36	69.05	4965	9.61	52.93	1626	البداري
8.82	9.02	660	61.39	40.27	4592	23.33	24.27	1745	6.46	15.72	483	أبوتيج
	0.00	0		0.00	0		0.00	0		0.00	0	صدفا
	0.00	0		0.00	0		0.00	0		0.00	0	الغنايم
25.25	100.00	7320	39.34	100.00	11403	24.81	100.00	7190	10.60	100.00	3072	الإجمالي
					كايودي	ليمنيا						: !!</td
%	%	335	%	%	315	%	%	326	%	%	215	المراكز
43.92	1.25	784	52.38	2.19	935	0.00	0.00	0	3.70	0.32	66	أسيوط
37.65	7.19	4515	24.27	6.83	2910	26.37	6.14	3162	11.71	6.87	1404	ديروط
28.28	4.80	3017	21.98	5.50	2345	36.16	7.49	3858	13.58	7.09	1449	القوصية
37.43	6.40	4018	23.98	6.04	2575	26.88	5.60	2886	11.71	6.15	1257	منفلوط
38.38	28.03	17605	22.86	24.61	10485	27.67	24.63	12690	11.09	24.89	5088	أبنوب
41.03	8.47	5320	23.22	7.06	3010	25.45	6.40	3300	10.30	6.53	1335	الفتح
35.44	15.91	9996	22.85	15.13	6445	25.46	13.94	7182	16.24	22.41	4581	ساحل سليم
39.36	13.95	8764	16.55	8.65	3685	32.04	13.84	7134	12.06	13.13	2685	البداري
26.44	7.69	4830	32.08	13.75	5860	33.11	11.74	6048	8.36	7.47	1527	أبوتيج
29.08	5.32	3339	33.84	9.12	3885	28.59	6.37	3282	8.49	4.77	975	صدفا
19.75	0.99	623	14.90	1.10	470	62.97	3.85	1986	2.38	0.37	75	الغنايم
35.41	100.00	62811	24.02	100.00	42605	29.05	100.00	51528	11.52	100.00	20442	الإجمالي

	جملة القواقع												
%	%	عدد	%	%	عدد	%	%	325	%	%	عدد		
39.41	8.63	9450	30.37	8.77	7283	17.85	5.32	4280	12.36	8.58	2964	أسيوط	
40.29	7.93	8686	25.12	6.52	5415	23.57	6.31	5082	11.02	6.88	2376	ديروط	
26.80	5.41	5922	24.32	6.47	5375	33.88	9.30	7488	15.00	9.60	3315	القوصية	
34.10	3.96	4340	32.07	4.91	4081	23.03	3.64	2931	10.80	3.98	1374	منفلوط	
38.98	20.79	22757	24.16	16.98	14103	26.43	19.17	15430	10.44	17.65	6093	أبنوب	
46.26	8.60	9416	22.81	5.59	4643	17.88	4.52	3640	13.04	7.69	2655	الفتح	
35.62	10.39	11375	24.27	9.33	7751	24.63	9.78	7867	15.48	14.32	4944	ساحل سليم	
39.00	16.59	18161	20.88	11.70	9720	29.54	17.09	13754	10.58	14.27	4926	البداري	
26.67	9.53	10432	36.91	17.38	14436	27.99	13.60	10948	8.42	9.54	3294	أبوتيج	
29.78	7.08	7756	37.06	11.62	9651	24.89	8.05	6482	8.27	6.24	2154	صدفا	
21.40	0.90	987	13.31	0.74	614	55.85	3.20	2576	9.43	1.26	435	الغنايم	
35.59	100.00	109471	27.01	100.00	83072	26.17	100.00	80478	11.23	100.00	34530	الإجمالي	

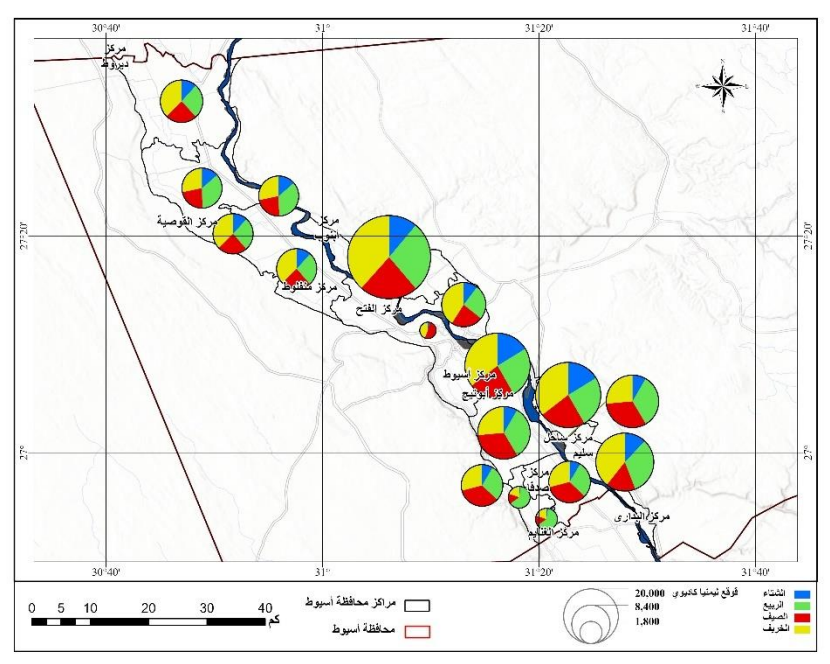
المصدر: اعتمادًا على وزارة الصحة، إدارة مكافحة القواقع بأسيوط، بيانات غير منشورة، (٢٠١٩: ٢٠١٣).



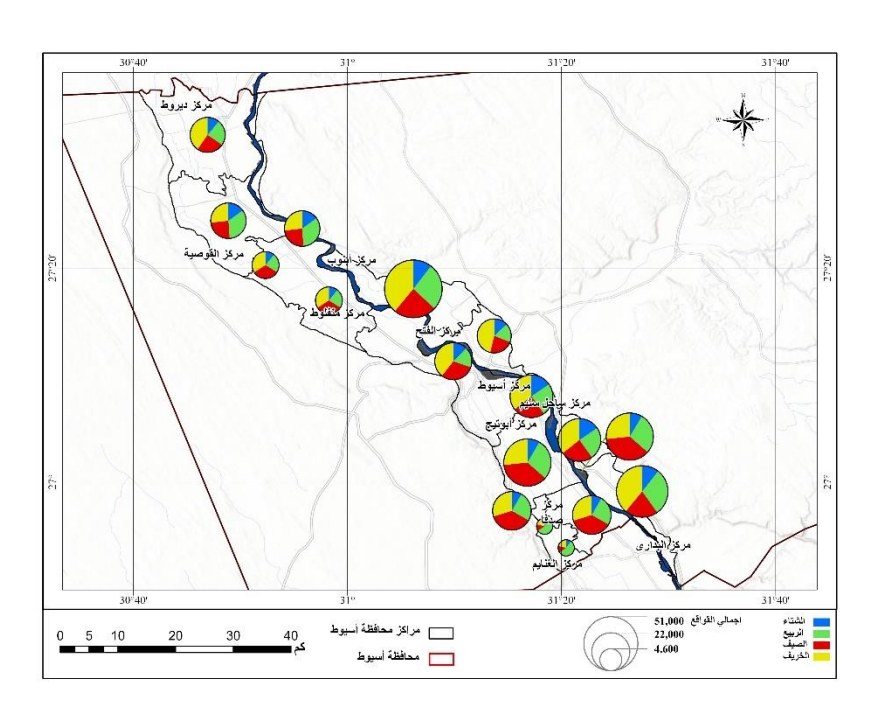
أ) بولينس



ب) بيومفالاريا



ج) ليمنيا كاديوي



د) اجمالي القواقع المائية شكل (٨) التباين الموسمى للقواقع المائية في محافظة أسيوط

- تزداد أعداد ونسب انتشار القواقع بشبكة الترع في مراكز محافظة أسيوط خلال فصول الخريف، الصيف، والربيع، لتصل إلى ٥,٦٣%، ٢٧%، ٢٦,٢ %، لكل منهم على التوالي. بينما تقل خلال فصل الشتاء نسب الانتشار لتصل إلى ١١,٢ ا% فقط من إجمالي أعداد القواقع المنتشرة في مراكز المحافظة. وتظهر علاقة ارتباطية واضحة بين أعداد ونسب انتشار القواقع وارتفاع درجات الحرارة في المحافظة. حيث تزداد نسب الانتشار كلما ارتفعت درجات الحرارة.

- تزداد أعداد ونسب انتشار القواقع خلال الفصول الحارة، الخريف والصيف، والربيع، لتصــل إلى ٣٨,٩%، ٢١,٥ \٢١,٥ ،٢١,٥ لكل منهم على التوالي. وتقل نســب الانتشار خلال فصل الشتاء وتبلغ ١٠,٩ %. وبعد مركز أسيوط هو أكبر المراكز في أعداد انتشار القوقع على خلال فصول العام. كما تتباين نسب انتشار القوقع من

مركز لأخر حسب فصول السنة، حيث نجد مركز الفتح هو أكبر المراكز انتشارا للقوقع وذلك خلال فصل الخريف بنسبة انتشار تصل إلى ٢١,٦%، يليه مركز الغنايم ٢٠,٠٤% خلال فصل الصيف، ثم يأتي مركز صدفا كثالث أكبر المراكز انتشار للقوقع خلال فصل الصيف بنسبة ٣٩,٦%، بينما تقل نسبة الانتشار كلما انخفضت درجات الحرارة لتصل إلى ٢٤,٧% خلال فصل الشتاء في مركز الغنايم. وذلك لقوقع بولينس.

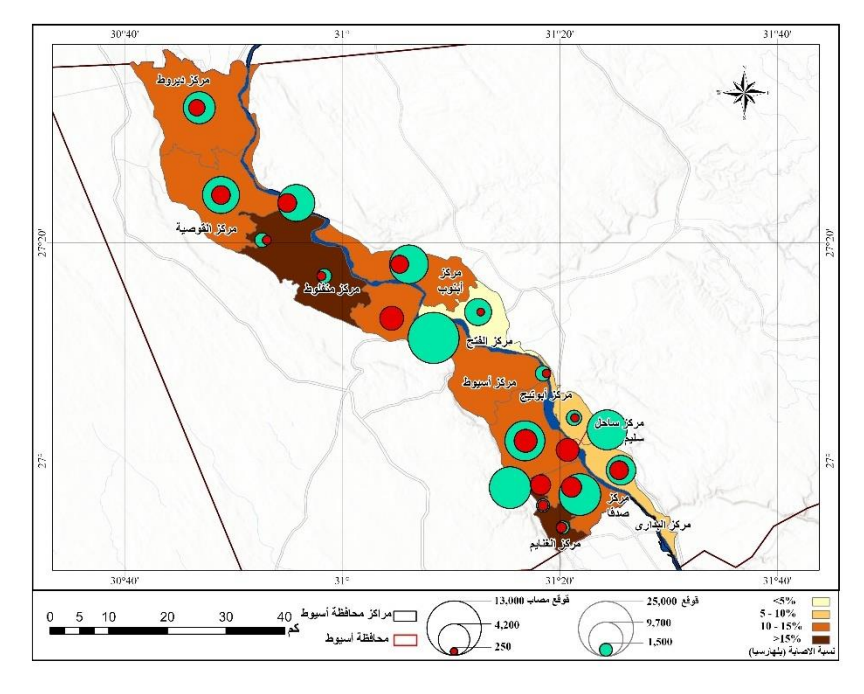
- تزداد أعداد ونسب انتشار القوقع خلال الفصول الحارة، الصيف، الخريف، والربيع، لتصلل إلى ٣٩,٣%، ٢٥,٢%، ٤٨٪ الكل منهم على التوالي. وتقل نسب الانتشار خلال فصل الشتاء وتبلغ ٢٠,١%. ويعد مركز البداري هو أكبر المراكز في أعداد انتشار القوقع خلال فصول العام. كما يعد مركز أسيوط هو أكبر المراكز انتشارًا للقوقع وذلك خلال فصل الشتاء بنسبة انتشار تصل إلى ٢٠,١%، ويليه مركز أبو تيج بنسبة ٤,١٠% خلال فصل الصيف، ثم مركز ديروط خلال فصل الخريف بنسبة ٤,١٠% خلال فصل الخريف بنسبة ٤,١٠% خلال فصل الربيع في مركز البداري . وذلك لقوقع بيومفالاريا.
- تزداد أعداد ونسب انتشار القوقع خلال الفصول الحارة، الخريف، الربيع، الصيف، لتصلل إلى ٢٥،٣٥، ٢٩، ٢٥، ٤٢%، لكل منهم على التوالي. بينما تقل نسبب الانتشار خلال فصل الشتاء لتبلغ ١٠٥، ١٠%. ويعد مركز أبنوب هو أكبر المراكز في أعداد انتشار القوقع خلال فصول العام. كما تزداد نسب انتشار القوقع من مركز لأخر حسب فصول السنة، حيث نجد مركز الغنايم هو أكبر المراكز انتشارا للقوقع وذلك خلال فصل الربيع بنسبة انتشار تصل إلى ٢٠,٩%، يليه مركز أسيوط خلال فصل الصيف والخريف بنسبة انتشار ٤,٢٥% -٣,٩٤ لكل منهما على التوالي، فصل الصيف الانتشار مع انخفاض درجات الحرارة لتصل إلى ٢٦,٦% خلال فصل الشتاء في مركز ساحل سليم. وذلك لقوقع ليمنيا كاديوى.

٦/توزيع القواقع المصابة في المجاري المائية بمحافظة أسيوط:

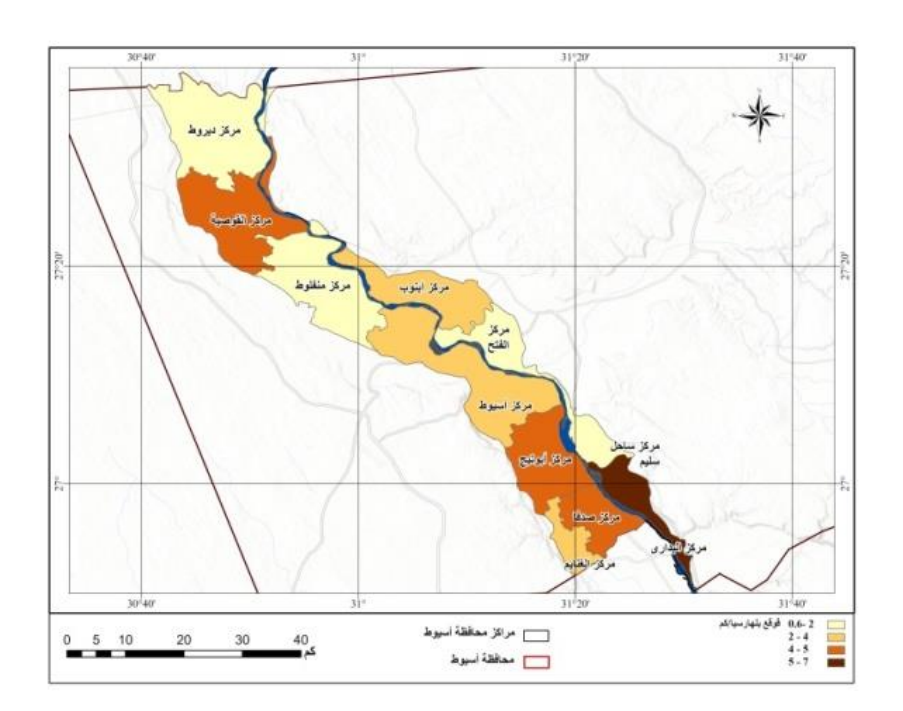
جدول (٥) توزيع القواقع المصابة في مراكز محافظة أسيوط خلال الفترة (١٠١٩: ٢٠٢٣)

	قع المصابة	إجمالي القواف		Υ,	مصاب بلهاريسيا مصاب ليميناـ مرض الفشيو							
نسبة الإصابة	قوقع/ كم	%	212	نسبة الإصابة	قوقع/ كم	%	325	نسبة الإصابة	قوقع/ كم	%	212	المراكز
11.21	3.13	7.00	2687	13.45	0.28	0.96	240	11.03	2.85	18.43	2447	أسيوط
15.78	4.54	8.87	3402	18.91	3.03	9.04	2268	11.85	1.51	8.54	1134	ديروط
17.35	11.98	10.00	3835	21.90	7.30	9.31	2336	13.11	4.68	11.29	1499	القوصية
15.95	6.01	5.29	2030	15.78	5.01	6.75	1694	16.88	0.99	2.53	336	منفلوط
9.88	14.46	15.04	5770	9.58	11.02	17.52	4396	10.98	3.44	10.35	1374	أبنوب
4.70	2.82	2.49	957	5.43	2.08	2.81	704	3.42	0.75	1.91	253	الفتح
16.81	9.81	13.99	5368	17.95	9.25	20.17	5062	8.20	0.56	2.31	306	ساحل سليم
7.85	16.93	9.53	3657	9.67	9.97	8.58	2154	6.19	6.96	11.32	1503	البداري
12.96	11.17	13.21	5070	15.48	6.23	11.27	2828	10.76	4.94	16.89	2242	أبوتيج
16.73	12.38	11.35	4356	22.89	7.47	10.47	2628	11.87	4.91	13.02	1728	صدفا
26.78	10.21	3.22	1235	24.79	6.46	3.12	782	31.07	3.74	3.41	453	الغنايم
12.48	8.17	100.00	38367	14.15	5.35	100.00	25092	10.20	2.83	100.00	13275	الإجمالي

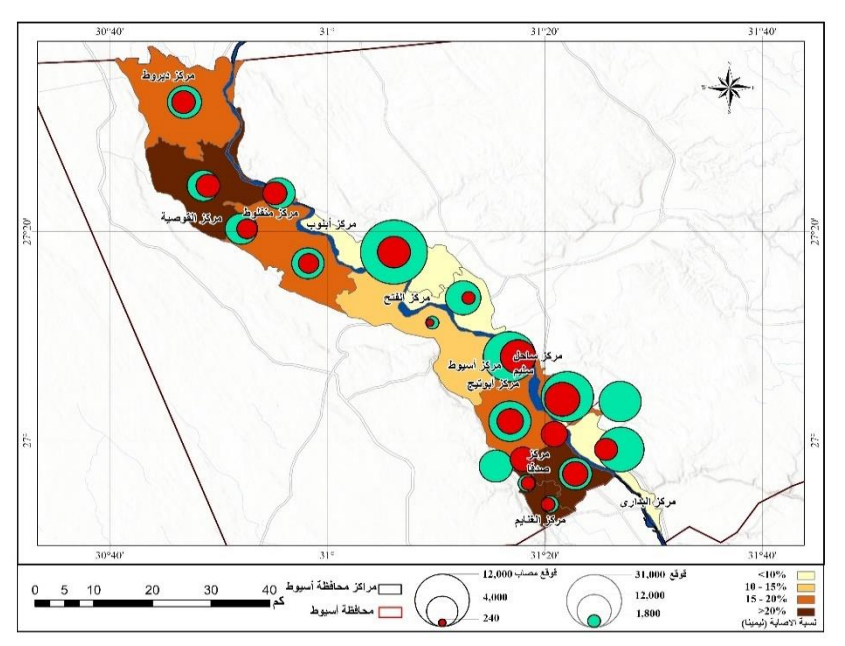
المصدر: اعتمادًا على وزارة الصحة، إدارة مكافحة القواقع بأسيوط، بيانات غير منشورة، (٢٠١٩: ٢٠٢٣).



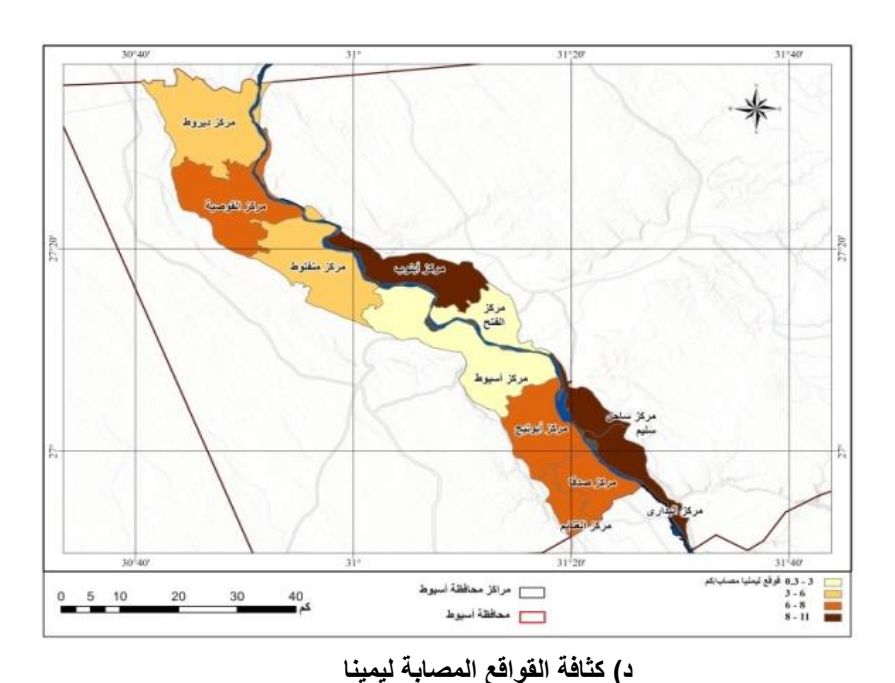
أ) نسبة الإصابة البلهارسيا



ب) كثافة القواقع المصابة بالبلهارسيا



ج) نسبة الإصابة ليمينا



شكل (٩) توزيع القواقع المصابة بالبلهارسيا واللمينيا وكثافتها المكانية بشبكة المجاري المائية في محافظة أسيوط

يتضح من التحليل الجغرافي للجدول (٥) وشكل (٩) توزيع القواقع المصابة بالبلهارسيا واللمنيا وكثافتها المكانية بشبكة المجاري المائية في مراكز محافظة أسيوط، خلال الفترة ٢٠١٩ - ٢٠٢٣، ومنهما يلاحظ:

- يبلغ إجمالي أعداد القواقع المصابة ٣٨٣٦٧ قوقع، ويستحوذ مركز أبنوب على أكبر نسبة قواقع مصابة بالبلهارسيا - ومرض الفشيولا بنسبة ١٥,٠٤ %، بينما بلغت كثافة القواقع المصابة بالبلهارسيا - والفشيولا اقصاها في مركزي البداري ، وأبنوب بنسبة ١٧ - ١٤,٥ قوقع/كم لكل منهما على التوالي، كما بلغت أكبر نسبة إصابة للقواقع حوالي ٢٦,٨%، ١٧,٣% في كل من مركزي الغنايم والقوصية على التوالي.

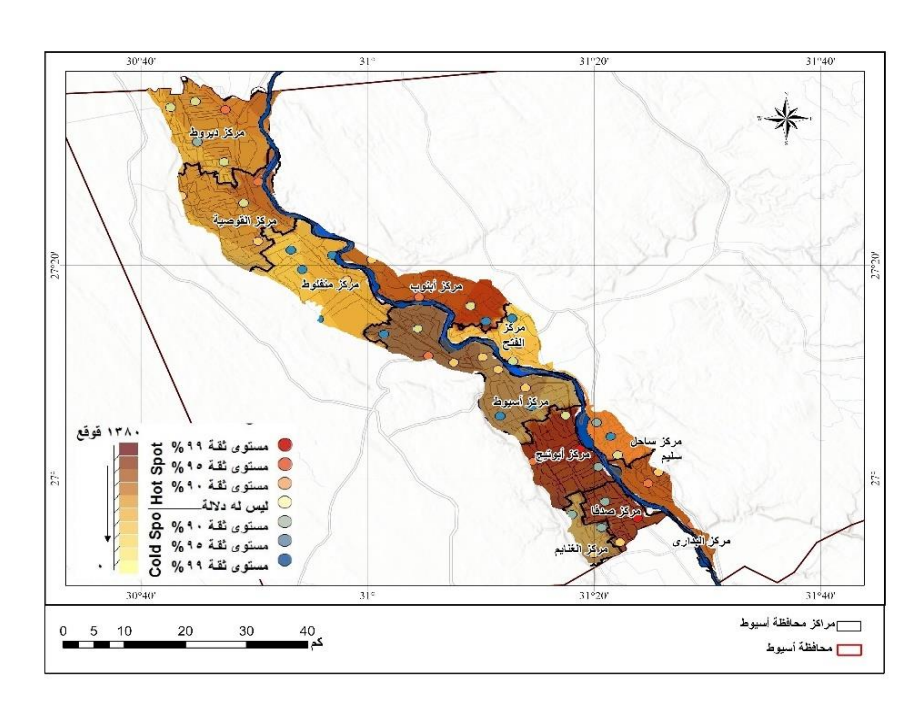
- بينما بلغ إجمالي عدد القواقع المصابة بمرض البلهارسيا فقط ١٣٢٧٥ قوقع، ويستحوذ مركز أسيوط على أكبر نسبة قواقع مصابة بالبلهارسيا بنسبة ١٨,٥%، بينما بلغت كثافة القواقع المصابة بالبلهارسيا اقصاها في مركز البداري بنسبة ٧

قوقع/كم، يليه مركز أبو تيج، صدفا، والقوصية بنسبة ٥ قوقع/كم لكل منهم على التوالي، كما بلغت أكبر نسبة إصابة للقواقع حوالي ٣١,٧%، ١٦,٩%، في كل من مركزي الغنايم ومنفلوط على التوالي.

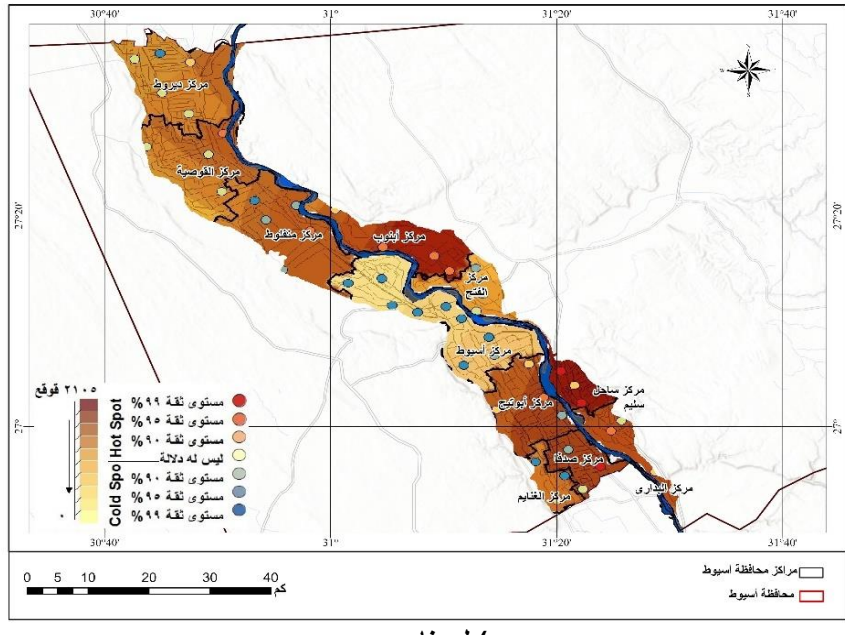
- بلغ إجمالي عدد القواقع المصابة بمرض الفشيولا فقط ٢٥٠٩٦ قوقع، ويستحوذ مركز ساحل سليم على أكبر نسبة قواقع مصابة بالفشيولا بنسبة ٢٠٠٦%، بينما بلغت كثافة القواقع المصابة بالفشيولا اقصاها في مركزي أبنوب، والبداري بنسبة المحابة للقواقع المحابة للقواقع المحابة بالفشيولا اقصاها في مركزي أبنوب، والبداري بنسبة حوالي ١٠- ١٠ قوقع/كم لكل منهما على التوالي، كما بلغت أكبر نسبة إصابة للقواقع حوالي ٢٢.٤%، ٢٢.٩، ١٠٩٠%، في مركز الغنايم، صدفا، والقوصية لكل منهم على التوالي.

٧/ تحليل البقع الساخنة لكثافة القواقع في المجاري بمحافظة أسيوط

يكشف هذا التحليل الإحصائي عن البقع الساخنة (القيم المرتفعة) والبقع البادرة (القيم المنخفضة) لمفردات الظاهرة قيد الدراسة (القواقع) عبر الامتداد الجغرافي لها، إذ ينتج عن هذا التحليل القيم الحرجة "GI Z score"، ومستوى المعنوية أو الإحتمالية "P". حيث إن GI دلالة إحصائية تعبر عن قيمة البيانات Z. ففي حالة كون القيمة Z مرتفعة وموجبة وقيم إحتمالية P منخفضة دل ذلك على تركز الظاهرة البقع الساخنة، والعكس. أما إذا كانت إذا كانت قيمة Z قريبة من الصفر فيعني ذلك عدم تركز مفردات الظاهرة، أما قيمة "D" فتحدد معامل الثقة الاحصائي للتأثير، فإذا كانت قيمتها على التأثير في مستوى ثقة ٩٠%، وإذا كانت ±٣ فالتأثير عير ذو صلة إذا كانت قيمة كانت ±١ فالتأثير غير ذو صلة إذا كانت قيمة المعامل تساوي صفر. يتم إجراء جميع المقارنات من خلال مقارنة فئات مستوى الأهمية (٩١% ساخن، ٩٥% ساخن، غير مهم، ٩٠% بارد، ٩٥% بارد، ٩٠% بارد، ٩٠% بارد، ٩٠% بارد، ويشير شكل (١٠) إلى البقع الساخنة لتركز القواقع في المجاري بارد، ٩٠% بارد). ويشير شكل الفترة (١٠٠) إلى البقع الساخنة لتركز القواقع في المجاري المائية في محافظة أسيوط خلال الفترة (١٠٠).







ب) ليمينا

شكل (١٠) تحليلات البقع الساخنة في تكاثر القواقع بالمجاري المائية في محافظة أسيوط

^/ توزيع المصابين بالأمراض المرتبطة بالقواقع ومعدلات الإصابة بها في محافظة أسيوط

جدول (٦) معدل الإصابة بالأمراض المرتبطة بالقواقع في محافظة أسيوط لكل ١٠ ألاف نسمة خلال الفترة (٢٠١٣: ٢٠١٩)

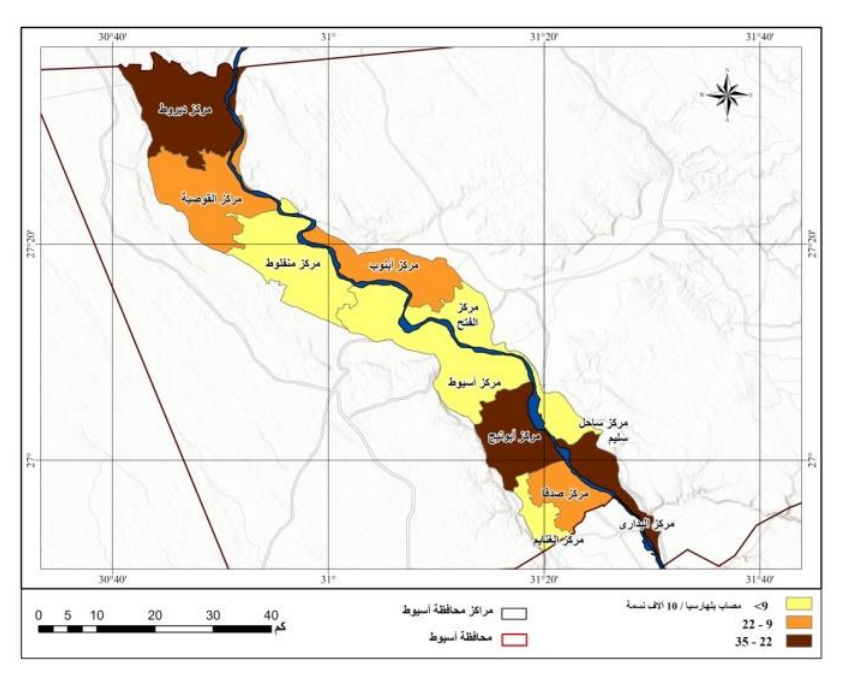
معدل الإصابة	عدد مصابین	عدد المفحوصين بالبلهاريسا	المراكز
7.73	66	85345	أسيوط
28.77	316	109844	ديروط
18.79	78	41504	القوصية
7.67	15	19559	منفلوط
12.90	54	41865	أبنوب
0.37	1	27159	الفتح
8.97	17	18958	ساحل سليم
34.92	168	48111	البداري
25.02	126	50361	أبوتيج
21.94	35	15949	صدفا
4.34	4	9213	الغنايم
18.81	880	467868	الإجمالي

المصدر: اعتمادًا على وزارة الصحة، إدارة مكافحة القواقع بأسيوط، بيانات غير منشورة، (٢٠١٩: ٢٠٢٣).

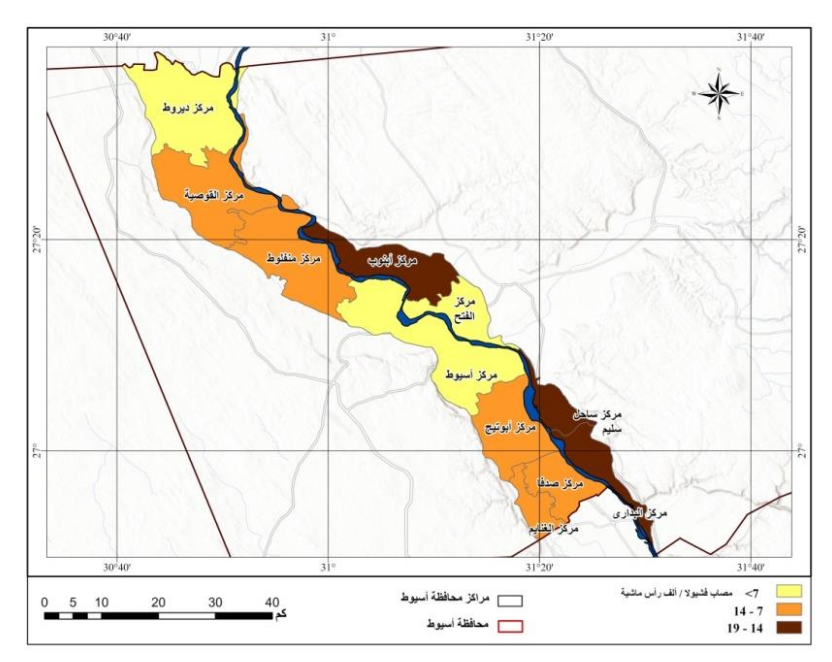
جدول (٧) معدلات إصابة الحيوانات بالفشيولا في محافظة أسيوط

	₩	() = 0	
معدل الإصابة/ ۱۰۰۰ رأس	عدد الإصابات	عدد الحيوانات المفحوصة	المراكز
1.73	109	63135	أسيوط
6.94	76	10955	ديروط
9.12	39	4277	القوصية
12.86	118	9176	منفلوط
18.02	771	42778	أبنوب
4.55	2	440	الفتح
18.45	2298	124576	ساحل سليم
17.76	67	3773	البداري
14.21	101	7106	أبوتيج
11.85	32	2701	صدفا
10.53	79	7501	الغنايم
13.36	3692	276418	الإجمالي

المصدر: اعتمادًا على وزارة الزاعة، إدارة الطب البيطري بأسيوط، بيانات غير منشورة، ٢٠٢٣.



شكل (١١) معدل إصابة المواطنين بالبلهارسيا في محافظة أسيوط للفترة ٢٠١٩-٢٠٢٣



شكل (١٢) معدل إصابة الحيوانات بالفشيولا في محافظة أسيوط للفترة ٢٠١٩ -٢٠٢٣

يتضح من التحليل الجغرافي لجدولي (٦، و٧)، والأشكال (١١، و١٢)، معدل الإصابة بالأمراض المرتبطة بالقواقع للإنسان، ومعدلات إصابة الحيوانات بالفشيولا في مراكز محافظة أسيوط، خلال الفترة ٢٠١٩- ٢٠٢٠، ومنهما يلاحظ ما يلي:

- بلغ إجمالي عدد المفحوصين بالبلهارسيا في مراكز المحافظة ٢٦٧٨٦٨ نسمة، ووصل عدد المصابين ٨٨٠ مصاب في مراكز المحافظة، بينما بلغ معدل الاصابة حوالي ١٨٫٨ مصاب/ ١٠ ألاف نسمة في إجمالي المفحوصين بمحافظة أسيوط.
- جاء مركز ديروط كأكبر المراكز في عدد المفحوصين بالبلهارسيا ١٠٩٨٤٤ نسمة، وبلغ عدد المصابين بالمركز ٣١٦ مصاب، بمعدل إصابة قدره ٢٨,٨ مصاب / ١٠ ألاف نسمة.
- بينما بلغ عدد المفحوصين بالبلهارسيا في مركز أبو تيج ٥٠٣٦١ نسمة، وبلغ عدد المصابين منهم ١٠٦ مصاب، بمعدل إصابة قدره ٢٥ مصاب / ١٠ ألاف نسمة.
- بينما جاء مركز البداري باعتبارة أكبر المراكز في معدل الإصابة والتي بلغت ٣٤,٩ مصاب / ١٠ ألاف نسمة، رغم ان عدد المفحوصين كان ٤٨١١١ نسمة، وبلغ عدد المصابين منهم ١٢٦ مصاب. كذلك وصل معدل الإصابة في مركزي صدفا، والقوصية إلى ٢١,٩ ١٨,٨ مصاب / ١٠ ألاف نسمة، لكل منهما على التوالي، رغم قلة عدد المفحوصين فقد وصل عددهم إلى ١٥٤٩٤، و١٥٠٤ نسمة، على الترتيب.
- أما بالنسبة لمعدلات إصابة الحيوانات بالفشيولا، فقد بلغ إجمالي أعداد الحيوانات المفحوصة ٢٧٦٤١٨ رأس، وبلغ إجمالي عدد الإصابات بالمرض ٣٦٩٢ مصاب، بمعدل إصابة قدره ١٣,٤ رأس / ١٠٠٠ رأس.
- وقد بلغ أكبر معدل إصابة للحيوانات بمرض الفشيولا، في مركز ساحل سليم، أبنوب، البداري ، وأبو تيج بمعدل إصــابة قدره، ١٨,٥، ١٨، ١٧,٨، ١٤,٢ رأس/ معلى الترتيب.

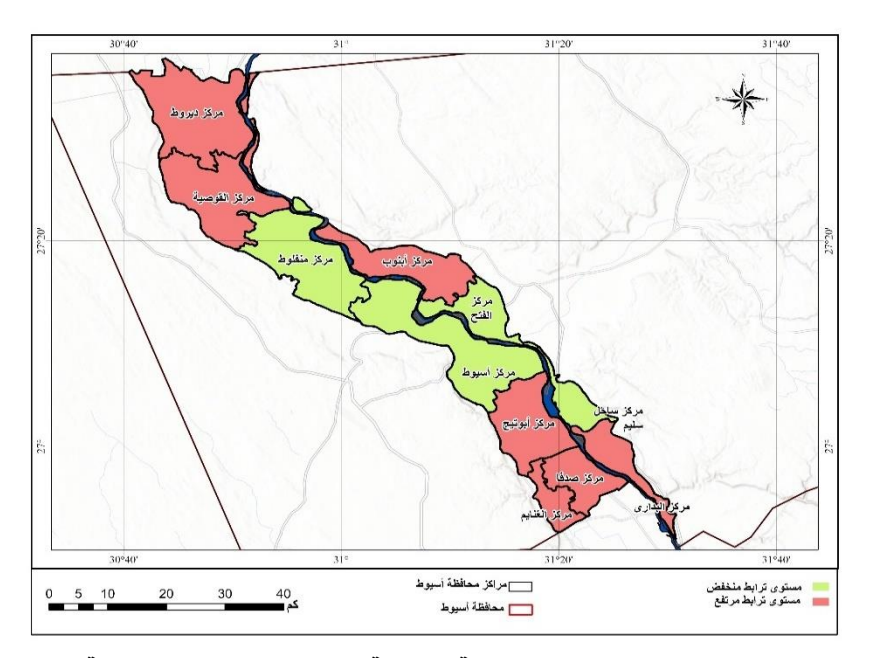
٩/ تحليل الترابط المكاني بين القواقع المائية ومعدلات الإصابة بالأمراض المرتبطة بها

تشير الاشكال (١٣، و١٤) إلى تحليل الترابط المكاني بين توزع أعداد القواقع المائية من نوع بولينس وليمنيا كايودي، ومعدلات اصابتها بالبلهارسيا والفشيولا من ناحية، ومعدلات الإصابة بالأمراض المرتبطة بها ومنها البلهارسيا للبشر، والفشيولا للحيوانات، من ناحية أخرى، وبلاحظ منهما:

- تمثل مراكز ديروط، والقوصية، وأبنوب، والفتح، وأبو تيج، والغنايم، وصدفا، والبداري المستويات الأعلى من الترابط بين كثافة القواقع المصابة واصابة الإنسان بالبلهارسيا. وتتطابق تلك النطاقات إلى حد كبير مع مناطق النقاط الساخنة لتوزيع قواقع بولنيس المصابة بالبلهارسيا Hot Spots التي تم تحديدها سابقًا بناءً على كثافة القواقع المصابة بالبلهارسيا. في المقابل، تظهر مراكز أسيوط ومنفلوط كمناطق ذات ترابط مكانى منخفض، مما يشير إلى أن وجود القواقع المصابة هناك لا يؤدي بالضرورة إلى ارتفاع معدلات الإصابة البشربة، وهو ما قد يعكس فاعلية التدخلات الصحية أو انخفاض مستوبات التلوث المائي. وقد يُفسِّر هذا التباين بالفارق الزمني بين عدوي قواقع بولنيس والحالات البشرية نتيجة اختلاف فترة الحضانة وتوقيت العيّنات، كذلك سلوكيات التعرض المائي للأفراد خارج نطاق الإقامة، مثل الانتقال إلى مواقع ري أو سباحة في مراكز مجاورة ثم العودة. ويمكن القول بأن نسبة إصابة قواقع بولنيس وكثافته تفسران الجزء الأكبر من التباين المكاني في معدل الإصابة البشري، مما يدعم صلاحية استخدام القواقع كمؤشر إنذار مبكر للإصابة بالبلهارسيا.

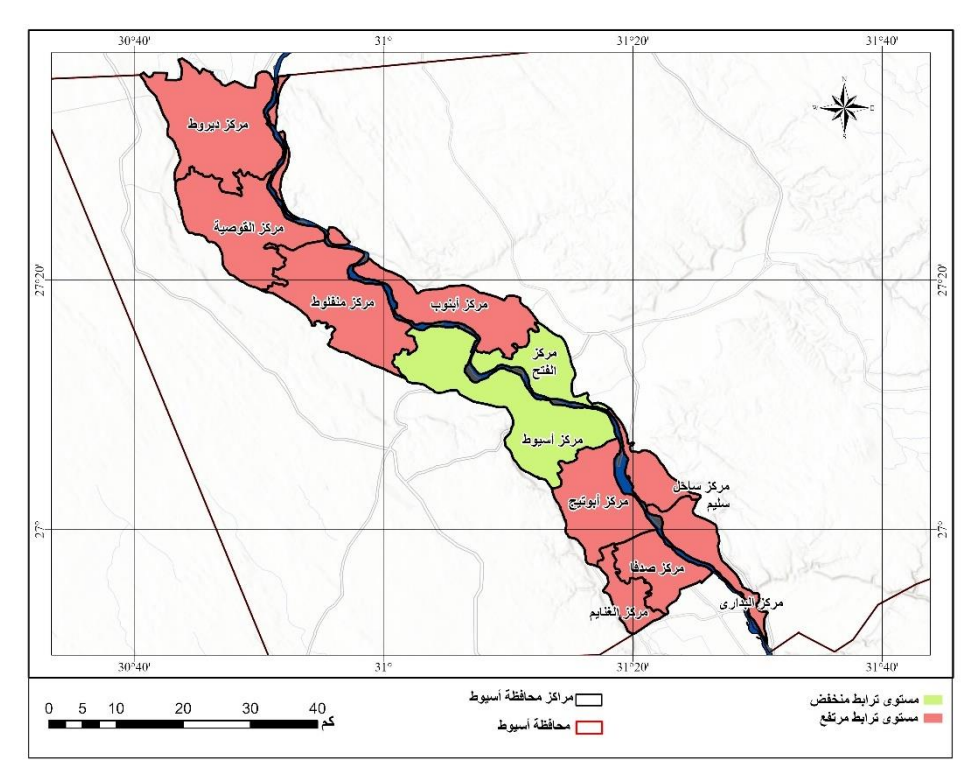
- تقع الغالبية العظمي لمراكز محافظة أسيوط ضمن المستوى الأعلى للترابط بين كثافة قواقع ليمنيا المصابة وإصابات الحيوانات، مما يعكس اتساقًا أكبر بين المتغيربن محل الدراسة، هذا الاتساق العالى يشير إلى دورة عدوى محلية مغلقة؛ إذ تقع الحيوانات الراعية ومواقع خروج السركاربا من ترع ومصارف ضمن نفس الحيز المكاني، فتنعكس

أي زيادة في إصابة القواقع مباشرةً على معدل المرض الحيواني. بينما مراكز أبنوب، الفتح، وأسيوط استثناءًا في ذلك الترابط المكاني بما يدل على ترابط ضعيف أو غير دال إحصائيًا. هذه النتائج قد ترجع إلى وجود عوامل وسيطة مثل ارتفاع معدلات استخدام مضادات الطفيليات البيطرية، أو اختلاف في مصادر المياه المستخدمة لرعي الحيوانات.



شكل (١٣) الترابط المكاني بين القواقع المائية المسببة للبلهارسيا، ومعدلات إصابة المواطنين في محافظة أسيوط للفترة ٢٠١٩ – ٢٠٢٣

- يتضح من التحليل المقارن بين الشكلين محل الدراسة أن مراكز مثل أبنوب والفتح وأسيوط تُظهر ترابط مكاني منخفض في كلتا الحالتين للبلهارسيا والفشيولا، مما يشير إلى احتمالية وجود نظم وقائية أو طبيعة بيئية مختلفة تقلل من كفاءة دورة حياة الطفيليين في هذه المناطق. من ناحية أخرى، فإن مناطق مثل البداري، صدفا، أبو تيج، وديروط تتكرر فيها مستويات الترابط العالية للبلهارسيا والفشيولا، وهو ما يرسخ أهمية اعتبار هذه المراكز ك "مناطق حرجة (Critical Zones)" تتطلب استهدافًا مباشرًا في خطط المكافحة.



شكل (١٤) الترابط المكاني بين القواقع المائية المسببة للفشيولا، ومعدلات إصابة الحيوانات في محافظة أسيوط للفترة ٢٠٢٣ – ٢٠٢٣

١٠/ تأثير العناصر المناخية على القواقع المائية

تؤثر العناصر المناخية والبيئية على توزيع وانتشار القواقع المائية وتواتر وانتقال الأمراض التي تسببها القواقع المائية (al., 2022; Wang et al., 2024 وفي ظل التغيرات المناخية والاحتباس الحراري، فمن المتوقع حدوث تغيرات في درجات الحرارة وما يرتبط بها من تأثيرات على النظم البيئية الطبيعية (Mas-Comae et al., 2009). يرجع ذلك إلى حساسية الكائنات الطفيلية لظروف الطقس في تطورها وانتشارها وتنقلها، بالإضافة إلى دور الظروف المناخية في تعديل مدى وشدة التطفل وتوزيع ومعدل بقاء نواقل الطفيليات والعوائل الوسيطة، كما يؤثر بشكل مباشر على معدل تكاثر ونضج الطفيليات التي تحملها الوسيطة، كما يؤثر بشكل مباشر على معدل تكاثر ونضج الطفيليات التي تحملها

(Poulin & Mouritsen, 2006). وأوضحت دراسة للهيئة الحكومية الدولية المعنية الاتغيرات المناخية (IPCC) عام ١٩٩٠ أن تغير المناخ يمكن أن يؤثر على انتشار الأمراض الطفيلية المنقولة بالنواقل (Epstein,2004; Hughes, 2000). وبينما يحدد المناخ نطاق الأمراض المعدية، فإن الطقس يؤثر على توقيت وشدة الفاشيات لذلك قد تؤثر التغيرات في العوامل المناخية على التوزيع أو النطاق البيئي للأمراض المعدية، في حين أن تواتر وحجم تفشي الأمراض يتغير مع تقلبات الطقس وآثارها البيولوجية على مسببات الأمراض ونواقلها (Epstein,2004; Hughes, 2000).

وتعد العمليات الفسيولوجية للقواقع والطفيليات شديدة الحساسية لدرجة الحرارة، حيث تحدد العتبات الحرارية قدرتها على البقاء نشطة ومُعدية والبقاء على قيد الحياة في ظل الظروف المناخية القاسية (Stensgaard et al., 2019)، وتشير دراسة ظل الظروف المناخية القاسية (Adekiya et al., 2022) إلى أن أثر التغيرات البيئية والمناخية المسريعة سيظهر في الحقول المائية ويمكن أن تؤدي إلى تغيرات في بيئتها، كما يمكن أن يؤدي التوسع في الموائل المناسبة لمضيفات الطفيليات المنقولة بالماء وتغير خريطة التوزيع الجغرافي المعروف لقواقع المياه العذبة (Mas-Comae et al., 2009)، وإن احتمالية تأثير تغير المناخ على انتقال وتوزيع الأمراض المنقولة بالمياه عالية جدا وإن انتقال عدوى هذه الأمراض يتم تعديله بسلسلة من الطرق المعقدة بسبب التغيرات المستقبلية في الظروف المناخية (Adekiya et al., 2022).

جدول (٨) متوسط المتغيرات المناخية المؤثرة على القواقع في محافظة أسيوط خلال الفترة (٢٠٢٣: ٢٠١٩)

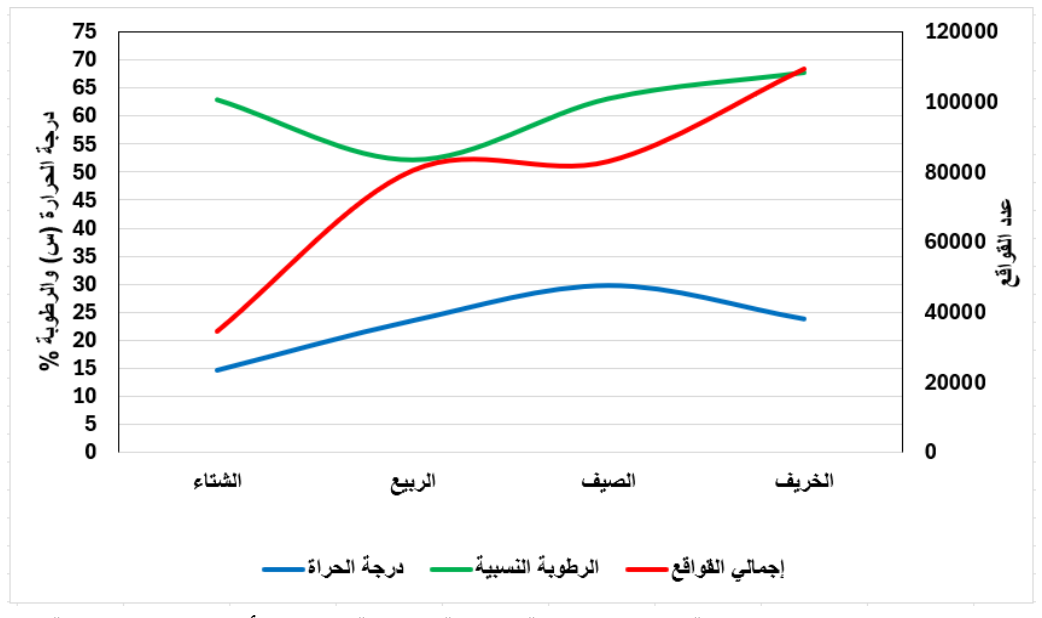
الخريف				الصيف			الربيع		الشتاء				
المتوسط السنوي	نوفمبر	أكتوبر	سبتعنز	أغسطس	يوليو	ي بي	مايو	أبريل	مارس	فبراير	بناير	ليسمبر	المتغير
73	63	80	85	75	88	82	75	69	70	65	62	62	نسب سطوع
13		76			81.6			71.3		63		الشمس	
23	19.5	24.5	27.5	29.8	۳٠,٥	30	28	23.5	19	15.5	13.5	15	درجة الحراة
23		23.8			29.8			23.5		14.6		درجه العراه	
20.5	50	42	40	37	36	27	25	26	35	44	51	50	الرطوبة
38.5		44			33.3			28.6 48			النسبية		

المصدر: الهيئة العامة للأرصاد الجوبة، محطة أرصاد أسيوط، بيانات غير منشورة، (٢٠١٩: ٢٠١٣).

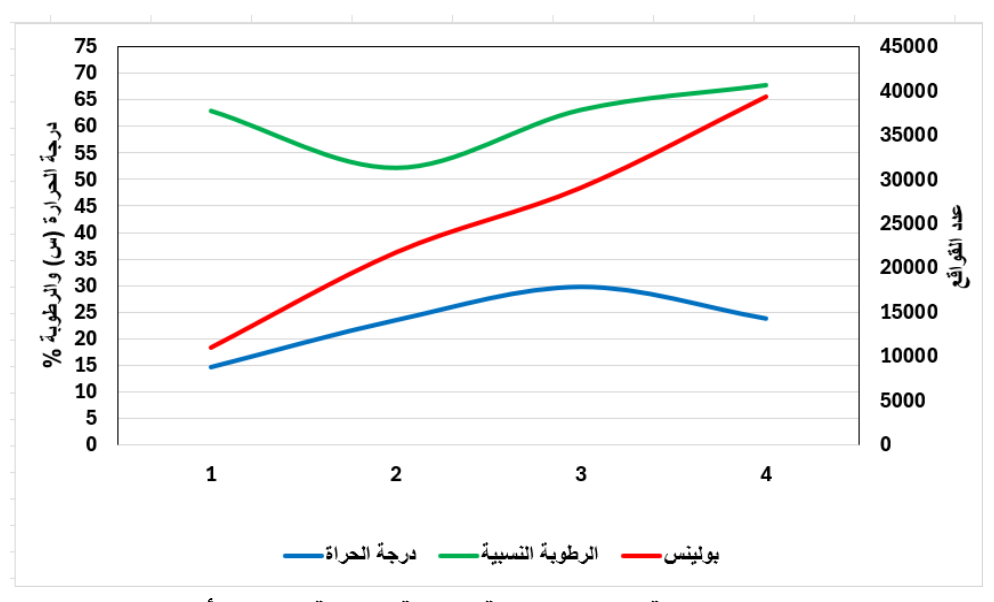
جدول (٩) التغيرات الموسمية لتوزيع القواقع في المسطحات المائية في مراكز محافظة أسيوط خلال الفترة (٢٠٢٣: ٢٠٢٣)

		الخريف			الصيف			الربيع			الشتاء			
الإخمالي	نوفمبر	أكتوير	سبتمبر	ंज्ञाक्ण	يوليو	يونيو	مأيو	أبريل	مارس	فبراير	ڹ <u>ٙؠ</u> ڹٵ	ديسمبر	إكز	المر
101180	13020	13251	13069	11868	5118	12078	3175	10870	7715	2775	2634	5607	215	ſ
		39340			29064			21760			11016			بولينس
100.00	12.87	13.10	12.92	11.73	5.06	11.94	3.14	10.74	7.63	2.74	2.60	5.54	%	÷
		38.88			28.73			21.51			10.89		70	
28985	2950	2145	2225	2492	2786	6125	2175	3245	1770	648	1029	1395	عدد	Æ
		7320			11403		7190		3072			بيومفالاريا		
100.00	10.18	7.40	7.68	8.60	9.61	21.13	7.50	11.20	6.11	2.24	3.55	4.81	%	عُ £
		25.25			39.34			24.81			10.60		70	
177386	23842	18298	20671	16180	9775	16650	9384	20982	21162	6636	5970	7836	عدد	
		62811			42605	•		51528	20442		•		Ę.	
100.00	13.44	10.32	11.65	9.12	5.51	9.39	5.29	11.83	11.93	3.74	3.37	4.42	%	16.
		35.41			24.02			29.05			11.52		%	
307551	39812	33694	35965	30540	17679	34853	1473 4	35097	30647	10059	9633	14838	216	,
		109471			83072			80478			34530			إجمالي
100.00	12.94	10.96	11.69	9.93	5.75	11.33	4.79	11.41	9.96	3.27	3.13	4.82	%	:E
		35.59			27.01			26.17			11.23		/0	

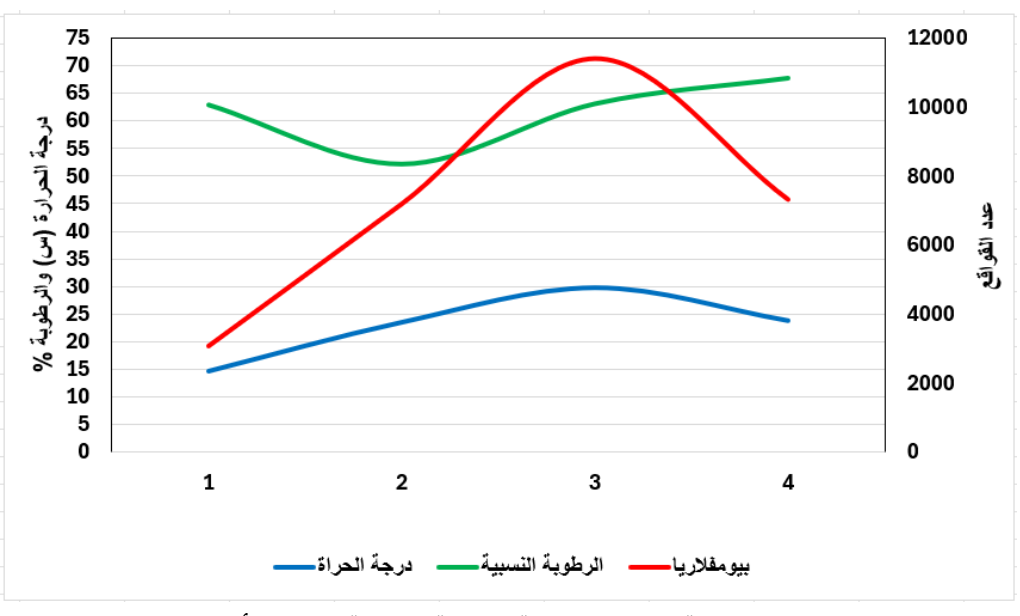
المصدر: اعتمادًا على وزارة الصحة، إدارة مكافحة القواقع بأسيوط، بيانات غير منشورة، (٢٠١٩: ٢٠٢٣).



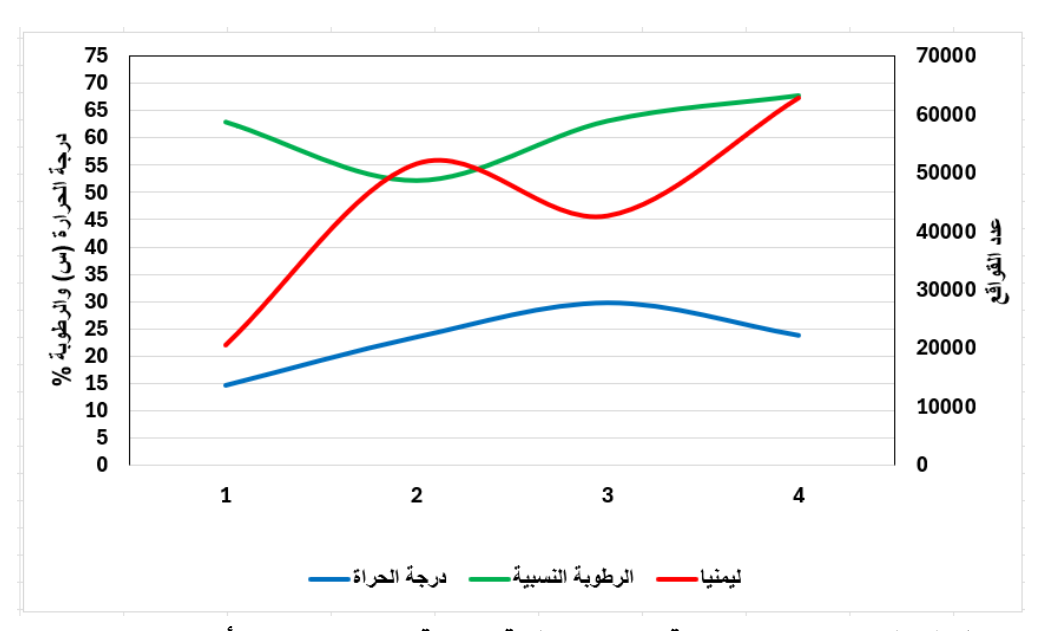
شكل (١٥) التغير الفصلي لدرجة الحرارة والرطوبة النسبية وعلاقتة باجمالي أعداد القواقع المائية في محافظة أسيوط



شكل (١٦) التغير الفصلي لدرجة الحرارة والرطوبة النسبية وعلاقتة باجمالي أعداد قواقع بولينس في محافظة أسيوط



شكل (١٧) التغير الفصلي لدرجة الحرارة والرطوبة النسبية وعلاقتة باجمالي أعداد قواقع بيومفالاريا في محافظة أسيوط



شكل (١٨) التغير الفصلي لدرجة الحرارة والرطوبة النسبية وعلاقته بإجمالي أعداد قواقع ليمنيا كايودي في محافظة أسيوط

- تزداد نسبة ساعات السطوع الشمسي في منطقة الدراسة لتصل إلى ٧٣%، وخاصة خلال فصل الصيف الذي يحتل المركز الأول في نسبة السطوع للشمس بنسبة آلله فصل الصيف الذي يحتل المركز الأول في نسبة السطوع للشمس يوليو أعلى نسبة دوام لسطوع الشمس عليها بشكل شبة عمودي ليسجل شهر يوليو أعلى نسبة دوام لسطوع الشمس ليصل إلى ٨٨%، وتعود هذه الزيادة إلى وقوع منطقة الدراسة ضمن المناطق التي تطول بها مدة سطوع الشمس شمال مدار السرطان، كما سجلت أدنى نسبة خلال شهور فصل الشتاء حيث سجل شهري ديسمبر ويناير نسبة ٢٢% لكل منهما؛ ويرجع ذلك إلى وقوع المنطقة في النطاق الصحراوي المداري وانخفاض نسبة السحب بسمائها مما يساعد على صفاء السماء وزيادة نسبة عدد ساعات سطوع الشمس على المنطقة .

- يبلغ المتوسط السنوي لدرجة الحرارة بمنطقة الدراسة ٢٣°م، ويتميز فصل الشتاء بانخفاض درجات الحرارة، حيث تسجل المتوسطات اليومية لدرجة الحرارة أدنى مستوى لها خلال هذا الفصل، وأن أقل الشهور حرارة هو شهر يناير، حيث يبلغ متوسط درجة الحرارة به ١٣,٥°م. ترتفع درجات الحرارة تدريجيًا خلال فصل الربيع لتسجل متوسط درجة الحرارة ٥,٣٣°م، ويعد شهر مايو أعلى الشهور حرارة خلال هذا الفصل، أما فصل الصيف فيتميز بارتفاع درجات الحرارة بصفة عامة، حيث تسجل أعلى متوسطات للحرارة خلاله، فيصل متوسط الحرارة فيه ٣٠°م، وأن أشد الشهور حرارة هو شهر يونيو، تعود متوسطات الحرارة اليومية لفصل الخريف للانخفاض ولكن بنسب أعلى قليلا من فصل الربيع، حيث يبلغ المتوسط الفصلي للانخفاض ولكن بنسب أعلى الشهور حرارة هو شهر سبتمبر خلال هذا الفصل، وهذا يعني أن

معدلات الحرارة تتطرف في كل من شهور فصل الصيف والشتاء على السواء، مما يدل على مدى القاربة لمناخ أسيوط نتيجة وقوعها في نطاق المناخ الصحراوي.

- يبلغ المتوسط السنوي للرطوبة النسبية بمنطقة الدراسة ٣٨,٥%، وهي نسبة منخفضة نسبيًا نتيجة لوقوعها في نطاق المناخ الصحراوي الجاف والبعد عن المؤثرات البحرية التي تزيد من نسبة بخار الماء في الهواء. وتزيد نسبة الرطوبة خلال فصل الشتاء لتسجل أكبر نسبة ٤٨%، بينما يسجل شهر يناير أعلى نسبة رطوبة خلال العام ٥٠%؛ وذلك نتيجة لانخفاض درجات الحرارة وسرعة الرياح. وبصفة عامة خلال الفترة من شهر نوفمبر وحتى يناير تبلغ الرطوبة أقصاها، في حين تقل عن المتوسط السنوي خلال الفترة من مارس حتى أغسطس، وتبلغ الرطوبة أقل نسبها خلال شهور فصل الربيع حيث تسجل في شهر مايو ٢٥%. وبمكن ارجاع ذلك إلى زبادة سرعة الرباح في منطقة الدراسة خلال فصل الربيع. وبتقارب فصل الصيف مع الربيع كثيرًا في سرعة الرياح وارتفاع درجات الحرارة، الأمر الذي ينعكس على انخفاض نسبة الرطوبة في منطقة الدراسة لتصل إلى ٣٣,٣%. كما يتزامن مع انخفاض درجات الحرارة وسرعة الرباح خلال فصل الخريف ارتفاع في نسبة الرطوبة لتقترب من النسب الشتوبة، حيث بلغت نسبة الرطوبة خلال فصل الخريف ٤٤%. وبؤدي انخفاض قيم الرطوبة النسبية في منطقة الدراسة بصفة عامة إلى جفاف الهواء وبالتالى تخفيف الشعور بالضيق وخاصة مع ارتفاع درجات الحرارة المستمر فترة طويلة على مدار العام بالمنطقة.

- تزداد كثافة القواقع تدريجيًا من الشــتاء لتصــل إلى حوالي ٤٠ ألف قوقع إلى الذروة في الخريف لتصــل إلى حوالي ١١٠ ألف، بينما ترتفع درجة الحرارة من ١٨ درجة إلى ٢٨ درجة في الصيف ثم تهبط قليلًا. ويشير هذا النمط إلى اقترانًا حراريًا-رطوبيا مع التوزيع الفصللي للقواقع المائية، فعندما تخرج الحرارة من نطاق البرودة الشــتوبة، تصــبح الرطوبة المرتفعة حافزًا لمعدّل إباضــة القواقع أعلى وبقاء أكبر

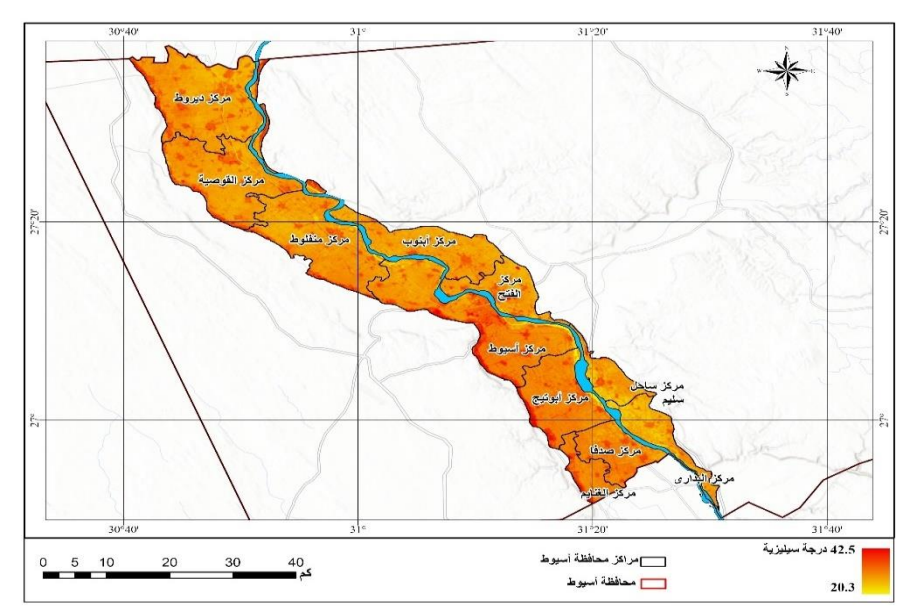
لليرقات؛ وحين يشتد الحرصيفًا، تعوّض الرطوبة المتصاعدة فقد الماء بالتبخّر، فتستمر الزبادة.

- استحوذ فصل الخريف على أكبر نسبة لتوزيع إجمالي القواقع بالمسطحات المائية بمنطقة الدراسة، حيث سجل ٢٥,٦%، بينما سجل فصل الصيف المرتبة الثانية في التوزيع بنسبة تصل إلى ٢٧,٠١%، يليه فصل الربيع بنسبة ٢٦,٢% من إجمالي توزيع القواقع بالمحافظة، بينما يقل توزيع القواقع بالمسطحات المائية في مراكز المحافظة خلال فصل الشتاء بنسبة لا تزيد عن ١١,٢%.
- يُظهر منحنى أعداد قواقع البولينس صعودًا شبه خطّى من الشتاء حيث الأعداد ١٥ ألف قوقع إلى الخريف حوالي ٤٠ ألف. يوازي هذا الصعود ارتفاع الرطوبة النسبية بشكل متزايد من ٦٥ % إلى ٧٢ %، أكثر مما يوازي الحرارة، إذ تبقى درجة الحرارة بين ١٨-٢٨ درجة، ويشير ذلك إلى أنّ قوقع بولينس كائن محبّ للرطوبة؛ فمجرّد خروج الحرارة من عتبة السكون 15 > درجة يكون ذلك كافيًا للتبويض، ثم يصبح مدى الرطوبة % 60 < المحدّد الأبرز لنجاح البيوض وكثافة البالغين، ويتسق ذلك مع ما تم رصده من تركّز لقوقاع البولينس على ضفاف الترع والمصارف.
- بالنسبة لقوقع بولينس يزداد نسب توزيعة بالمسطحات المائية بمنطقة الدراسة خلال فصل الخريف بنسبة ٣٨,٩%، يليه فصل الصيف، ثم الربيع بنسبة ٢٨,٧%، كلل منهما على التوالي، بينما تقل نسب التوزيع خلال فصل الشتاء بنسبة ٩,١٠%.
- يتضاعف أعداد قواقع بيومفالاريا من الشتاء إلى الصيف بحوالي ١٠ آلاف قوقع، ثم ينخفض إلى حوالي ٧ آلاف في الخريف، على الرغم من استمرار الرطوبة في الارتفاع. ويمكن تفسير بأن هذا النوع من القواقع يملك عتبة حرارية عليا ضيقة يبلغ

أقصاها حوالي 30 درجة؛ فعندما تتجاوز درجة الحرارة هذه القيمة صيفًا تتحقق ذروة التكاثر، ولكن استمرار الارتفاع الحراري أو تزايده مع رطوبة مرتفعة يخلق إجهادًا حراريًا، فيقلّ العدد مع الاتجاه نحو الخريف. وهذا يفسّر وجود هذا النوع من القواقع الأعلى نسبيًا في مراكز المحافظة الشمالية والوسطى الأبرد قليلًا.

- كذلك بالنسبة لقوقع بيومفالاربا يعد فصل الصيف هو أكبر فصول توزيع القوقع في المسطحات المائية حيث بلغ ٣٩,٣% من إجمالي التوزيع للقوقع بمنطقة الدراسة، ثم جاء فصل الخريف، يليه الربيع بنسب تقدر بحوالي ٢٥,٢%، ٨٤٤%، وتقل خلال فصل الشتاء لتصل إلى ١٠,٦%.
- تسجّل ليمنيا كايودي نمطًا ثنائي القمة، حيث الارتفاع السريع من الشتاء إلى الربيع بحوالي ٤٥ ألف قوقع، ثم هبوط خلال فصل الصيف لحوالي ٣٥ ألف، ثم صعود جديد في فصــل الخريف بحوالي ٦٠ ألف. حيث يعتمد تكاثر قوقاع ليمنيا كايودي على رطوبة ٤٠٠ %، مع حرارة معتدلة تتراوح بين ٢٠-٢٦ درجة، حيث يتزامن الانخفاض الصيفي لأعداد قواقع ليمنيا كايودي مع وصول الحرارة إلى حوالي ٢٨ درجة، وتراجع الرطوبة إلى أدنى نقطة موسمية، في حين يتيح اقتران رطوبة الخريف المرتفعة ٧٠ % مع حرارة أضـعف ٢٦ درجة موجة ثانية من التزاوج. وتشـير هذه المرونة إلى قدرة ليمنيا كايودي على استغلال فتراتَ الريّ الموسميّ وتوزّعها العربض بالمحافظة.
- أما بالنسبة لقوقع ليمنيا فيعد فصل الخريف هو أكبر الفصول في توزيع القوقع بالمسطحات المائية بنسبة تصل إلى ٣٥,٤%، يليه فصل الربيع، والصيف بنسب تقدر بـ ٢٩%، ٤٢%، لكل منهما على التوالي، وتقل أيضا خلال فصل الشتاء مثل باقى أنواع القواقع لتصل إلى ١١,٥ ١%.

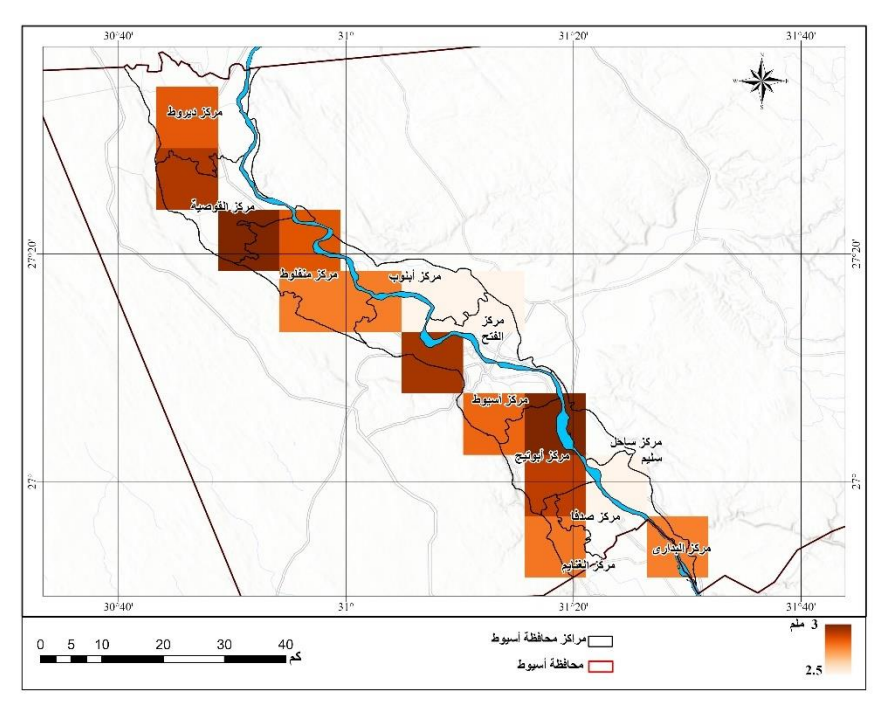
- يتضــح من التحليل الجغرافي للجدول والشـكل أن المواسـم التى ترتفع بها درجات الحرارة وتقل بها الرطوبة النسبية مثل فصلي الصيف والربيع والخريف، تزداد نسب التوزيع الموسـمي للقواقع بالمسـطحات المائية بالمحافظة. بينما تقل نسـبة التوزيع الموسمي خلال فصل الشتاء حيث انخفاض درجة الحرارة وارتفاع الرطوبة النسبية. حيث يتضـــح من ذلك أن هناك علاقة طردية بين درجات الحرارة وزيادة توزيع القواقع بالمسطحات المائية القواقع، وعلاقة عكسية بين الرطوبة النسبية وزيادة توزيع القواقع بالمسطحات المائية بمحافظة أسيوط.



شكل (١٩) متوسط درجة حرارة سطح الأرض LST في محافظة أسيوط للفترة ٢٠١٩ -٢٠٢٣

وعلى مستوى التوزيع المكاني لدرجات الحرارة في محافظة أسيوط، يشير شكل (١٩) إلى أن درجة حرارة سطح الأرض LST تتراوح بين ٢٠ درجة على ضاف النيل و ٤٢ درجة في السهول المكشوفة جنوب – شرقي محافظة أسيوط كمتوسط للفترة النيل و ٢٠ درجة في المنطقة الواقعة بين القوصية – منفلوط – أبوتيج نطاقًا حراريًا شهد ائم عند ٣٠-٣٤ درجة، وهو المجال الذي يبلغ فيه تكاثر قواقع بولينس

وبيومفالاريا ذروته؛ فالتجارب المعملية أظهرت تعطّل وضع البيض عند ١٥ درجة و ٣٦ درجة، بينما بلغ متوسط البيض ٣٤٤ كتلة/أنثى عند ٢٦ درجة، ثم انخفض إلى أقل من الثلث عند ٣١ درجة (Kalinda et al, 2017). وبالتالي تمثّل هذه «البقعة الحراربة» أنسب المواقع لموائل القواقع، كما يوفِّر نهر النيل شربطًا أبرد بنحو ٢-٣ درجة، مما يُقلِّل الإجهاد الحراري وبُطيل موسے الإباضة، حيث يعمل كملاذ حراري يحمى البيوض خلال فترات الحر الشديد، ممائفسِّر تركز القواقع على ضفتيه.



شكل (٢٠) متوسط رطوبة التربة SMAP في محافظة أسيوط للفترة ٢٠١٩-٢٠٢٣

وبشير شكل (٢٠) إلى أن رطوبة التربة السطحية SMAP في محافظة أسيوط، ولاحظ منه تركّز القيم الأعلى لرطوبة التربة السطحة (SMAP (≥ 3 mm في المراكز الشمالية ديروط، والقوصية، وعلى شريط فرعى غرب النيل، بينما تنخفض إلى م. 7 mm في مركزي البداري وساحل سليم. هذه الرطوبة الكافية تُعزز فقس البيوض وبقاء اليرقات، حيث تُعَدّ القيم > ٣٨٨ mm لرطوبة التربة عتبة حرجة لنجاح

د/ أحمــد على أحمــد

فقس البيوض في ليمنيّات وفصائل بولينس (Zhu, et al, 2019)، ما يهيّئ شروطًا مواتية خاصـــة بالمناطق التي تجمع بين رطوية مرتفعة وقرب دائم من قنوات الري. وبشير هذا التباين إلى أنّ الرطوبة؛ وليس الحرارة وجدها، هي المحدِّد الأول الستمرارية مستعمرات القواقع خلال الصيف الجاف.

جدول (١٠) الترابط بين المتغيرات المناخية ومعدلات الإصابة بالأمراض المنقولة عبر القواقع المائية في مراكز محافظة أسبوط

مستوى الرطوبة	درجة حرارة سطح	معدل إصابة	معدل إصابة	المركز
السطحية (%)	الأرض (°C)	بالفشيولا	بالبلهارسيا	33
7	35	أعلى	أعلى	ديروط
8	33	أعلى	أعلى	القوصية
14	28	أدنى	أدنى	منفلوط
10	30	أعلى	أعلى	أبنوب
11	31	أعلى	أعلى	الفتح
15	27	أدنى	أدنى	أسيوط
9	30	أعلى	أعلى	أبوتيج
10	31	أعلى	أعلى	ساحل سليم
8	32	أعلى	أعلى	صدفا
9	33	أعلى	أعلى	الغنايم
7	34	أعلى	أعلى	البداري

يوضح جدول (١٠) الترابط بين المتغيرات المناخية لدرجة حرارة سطح الأرض LST ورطوبة التربة السطحية SMAP، بنتائج التحليل المكاني للإصابة بالبلهارسيا والفاشيولا والذي انتهى إلى وجود تركز واضح لمناطق الترابط العالى بين القواقع المصابة والإصابات البشرية والحيوانية في مراكز جنوب ووسط محافظة أسيوط، أبرزها مراكز أبوتيج، وصدفا، والغنايم، والبداري، وهي ذاتها التي ظهرت في خرائط الكثافة بأنها تمثل نقاطًا ساخنة (Hotspots) لتواجد القواقع المصابة، يتضح أن هذه المناطق تتشارك في خصائص مناخية تدعم دورة حياة الطفيليات والقواقع على حد سواء، على النحو التالي: - تُظهر خريطة متوسط درجة حرارة سطح الأرض LST للفترة ٢٠١٩-٢٠٣١ ارتفاعًا ملحوظًا في نفس المراكز التي سـجلت أعلى كثافات قوقعية ومعدلات إصـابة، إذ بلغ المتوسط في تلك المناطق ما بين ٣٧-٣٦ درجة خلال شهور الذروة، وهي درجة حرارة مثالية لنشاط القواقع وانتقال الطفيليات، خاصة بولنيس وليمنيا كايودي. فالقواقع المائية تعتمد جزئيًا على درجة حرارة البيئة في تنظيم نشـاطها الحيوي، وتُظهر أعلى معدلات نمو وتكاثر ضـمن هذا النطاق الحراري، كما تشـير دراسـات, Pedersen et al.)

- تُظهر خريطة رطوبة التربة المستخرجة من بيانات SMAP للفترة ٢٠١٣-٢٠٣٠ توافقًا مكانيًا لافتًا، حيث سجلت مراكز أبوتيج، وصدفا، والغنايم مستويات مرتفعة نسبيًا من الرطوبة السطحية تتراوح بين ١٨ - ٢٢%، وهي كافية لتوفير بيئة رطبة للقواقع حول المجاري المائية والقنوات. وتُعد الرطوبة أحد الشروط الحاسمة لبقاء البيوض واليرقات الطفيلية، كما تسهم في دعم نمو الغطاء النباتي حول الترع، والذي يمثل موئلًا بيئيًا مناسبًا لارتكاز القواقع.

- يُظهر هذا الترابط المكاني أن تداخل درجة الحرارة المرتفعة مع الرطوبة المعتدلة أو العالية يشكل بيئة مثالية لدورة حياة القواقع والطفيليات معًا، وهو ما يُفسر تركز معدلات الإصلابة في تلك المراكز دون غيرها. أما المراكز التي ظهرت في التحليل المكاني كمناطق ذات ترابط منخفض مثل منفلوط، والفتح، وأسيوط فغالبًا ما تتميز بواحدة من خاصيتين، إما انخفاض في رطوبة التربة نتيجة تربة شديدة التصريف أو مواقع مرتفعة عن مستوى المياه، أو تباين حراري شديد يقلل من استقرار ظروف التكاثر القوقعي.

- تشير هذه النتائج إلى أن التحليل المكاني وحده غير كافٍ دون إدماج المعطيات المناخية، والتي توفّر بُعدًا تفسيريًا هامًا للأنماط المكانية المسجلة. وتؤكد النتائج أن الضوابط البيئية المناخية، وعلى رأسها درجة حرارة سطح الأرض والرطوبة السطحية للتربة، تعمل كعوامل محددة رئيسية للتحكم في توزيع وتكاثر القواقع المصابة، ومن ثم

انتشار الأمراض المنقولة مائيًا مثل البلهارسيا والفاشيولا. وتدعم هذه العلاقة أهمية إدماج مخرجات الاستشعار عن بعد في نظم الإنذار المبكر للأوبئة.

جدول (١١) الحدود الحرارية المثلى لنمو وتكاثر القواقع المائية

المصدر	درجة الحرارة المثلى (°C)	الحد الأدنى (°C)	الحد الأعلى (°C)	نوع القوقع
Appleton, 1978; WHO, 1995	22–30	15	38	بولينس
De Kock & Wolmarans, 2005	24–28	15	36	بيومفالاربا
Oso et al., 2022	18–25	10	35	ليمنيا كايودي

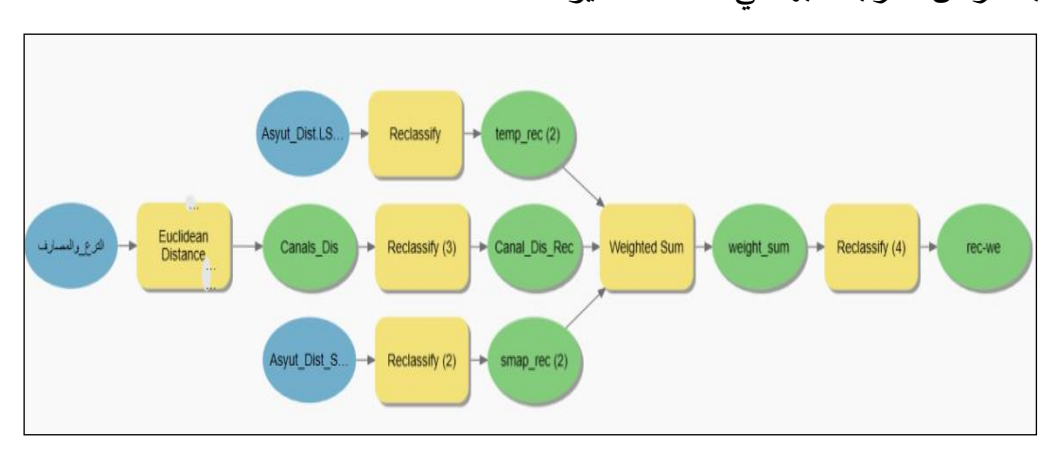
جدول (١٢) الحدود المثلى لرطوبة التربة والمياه لنمو وتكاثر القواقع المائية

المصدر	القيمة المثلى	القيمة الحرجة/غير الملائمة	الخاصية
Scholte et al., 2014; Tchakonte et al., 2023	40%–20% محتوى الماء الحجمي	أقل من ١٠% أو أكثر من ٥٠%	رطوبة التربة السطحية
Guan et al., 2023	مياه راكدة أو منخفضة الجريان (۰٫۰–۰٫۰ م/ث)	مياه متدفقة بشدة أو جافة	مستوى الماء في القناة/الترعة
WHO, 1995	dS/m۲ أقل من	أعلى من dS/m٤	الملوحة (EC)
Okeke et al., 2020	6.5-8.5	أقل من ٥ أو أكثر من ٩	الرقم الهيدروجيني (pH)

يشير جدولي (١١، و١٢) إلى الحدود الحراربة ورطوبة التربة وخصائص المياه المُثلى لنمو وتكاثر القواقع المائية، ويتضح منهما تحقق القدر الأكبر من محددات الحياة المُثلى للقواقع المائية في محافظة أسيوط، وهو ما ينعكس على ارتفاع معدلات الخطورة من نمو وتكاثر القواقع المائية في المحافظة.

١١/ التنبق المستقبلي بالأخطار المرتبطة بالقواقع المائية في ضوء التغيرات المناخية

اعتمدت الدراسة الحالية على تقنيات نمذجة نظم المعلومات الجغرافية لإنشاء خربطة لمعامل الخطورة لاحتمالية التعرض للإصابة بالأمراض المرتبطة بالقواقع المائية في محافظة أسيوط في ضيوء الحدود الحرارية ورطوبة التربة وطبيعة المياه المُثلى لتكاثر القواقع المائية في ظل الظروف المناخية الحالية والتغيرات المناخية المحتملة حتى عام ٢١٠٠، كما يتضح من خلال جدولي (١١، و١٢). وبشير شكل (٢١) إلى نموذج نظم المعلومات الجغرافية لإنشاء خربطة محتملة لدرجة خطورة التعرض للإصابة بالأمراض المرتبطة بالقواقع المائية في محافظة أسيوط في ضوء الظروف المناخية الحالية، واعتمد بناء النموذج على بيانات درجة الحرارة السطحية المستخرجة من مرئيات LandSAT8/9 OLI& TIRS متوسط الفترة ٢٠١٩-٢٠٢٣، وبيانات رطوبة التربة السطحية SMAP متوسط الفترة نفسها، وخربطة توزيع شبكة الترع والمصارف في محافظة أسيوط، وما انتهت إليه الدراسة الحالية من تحديد معاملات الارتباط المكاني بين العوامل المناخية وأعداد القواقع المائية ومعدلات الإصكابة بالأمراض المرتبطة بها في محافظة أسيوط.



شكل (٢١) نمذجة نظم المعلومات الجغرافية لمستوبات الخطورة المحتملة للإصابة بالأمراض المرتبطة بالقواقع المائية في محافظة أسيوط

ويشير شكل (٢٢) إلى معامل خطورة التعرض للإصابة بالأمراض المرتبطة بالقواقع المائية في محافظة أسيوط في ظل الظروف المناخية الحالية، ويلاحظ منه تطابق التوزيع الحالي لكثافة القواقع المائية والإصابة في محافظة أسيوط خاصة في مراكز منفلوط، والقوصية، وأبوتيج مع أعلى كثافتين حرارية ورطوبة وقرب هيدرولوجي من شبكة الترع والمصارف، ويصنفها النموذج على أنها في فئة الأعلى خطورة، بينما تتطابق مراكز ديروط، وأبو تيج في كثافة أقل في أعداد القواقع المائية مع مواقع أقل حرارة أو أكثر تصريفًا للمياه، ويصنفها النموذج على أنها في فئة الأقل خطورة. في حين تمثل مراكز أبنوب، والفتح، وصدفا متغيرات مناخية ملائمة جزئيًا، ويصنفها النموذج في الفئة متوسطة الخطورة. ويُترجم هذا التوافق المكاني حساسية نموذجية تقارب ٥٠٠٠٠.

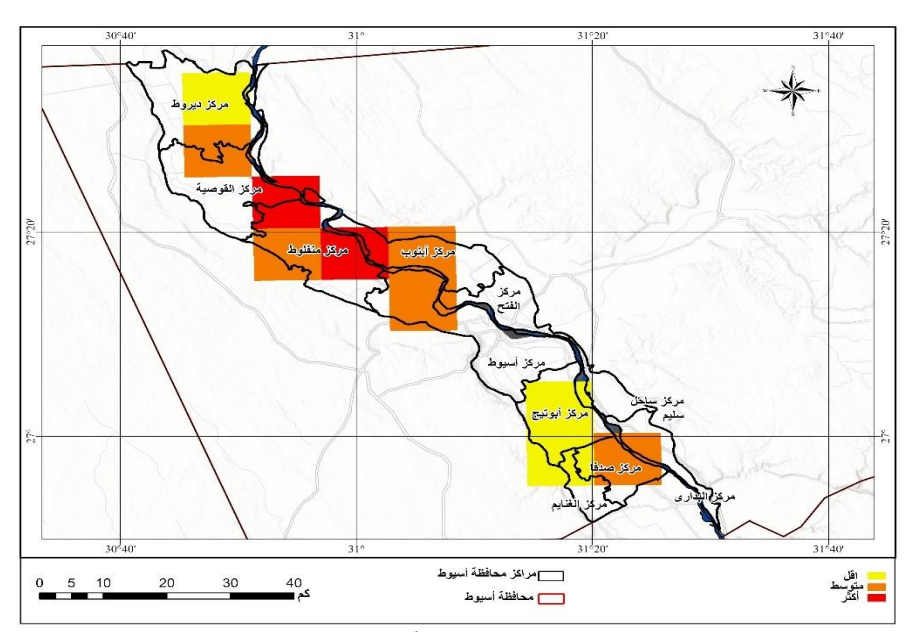
ويمكن تقييم مدى التوافق بين نموذج نظم المعلومات الجغرافية المقترح للملاءمة المكانية للقواقع المائية، وتوزيع القواقع الفعلى في النقاط التالية:

- تمثل مراكز منفلوط، القوصية، أبو تيج التطابق التام بين النموذج المقترح والتوزيع الفعلى، حيث تمثل أعلى خطورة وأعلى كثافة وإصابة.
- تمثل مركز البداري مواطن الاختلاف، حيث يصنف في فئة الخطورة المتوسطة على الرغم من الكثافة المنخفضة للقوقاع، ويمكن تفسير ذلك بتخطي درجة الحرارة ٣٨ درجة.
- يُعطي التحليل البصري دقة إجمالية تصل إلى ٨٢% مما يفيد الاتساق الإحصائي بين المتغيرين مما يدعم اعتماد النموذج كأداة استشراف لمكافحة القواقع ومرض البلهارسيا حتى ٢٠٥٠، و٢٠٠٠.

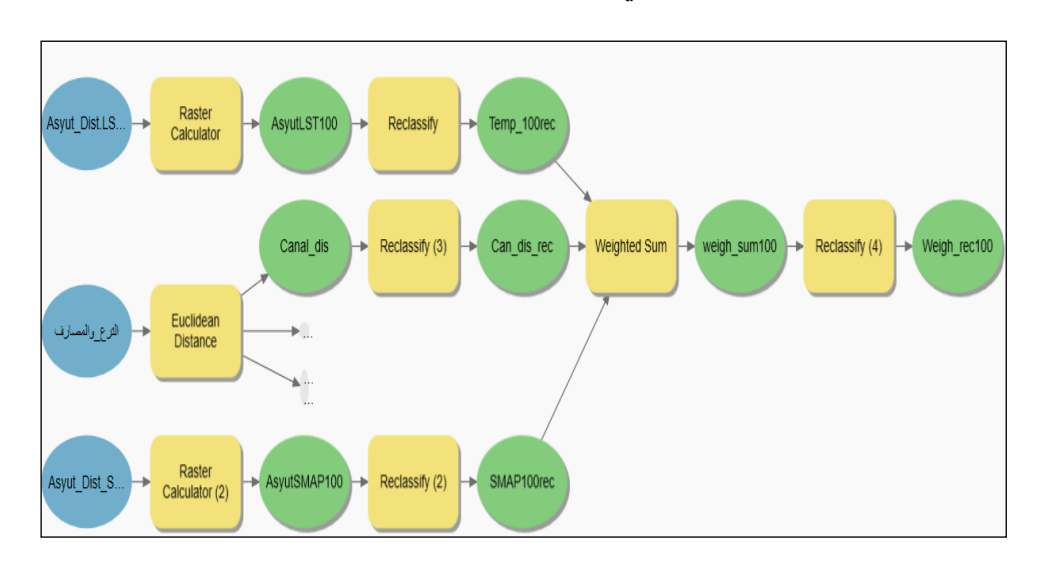
وفي ضــوء التغيرات المناخية المحتملة والارتفاع المتوقع لدرجات الحرارة العالمية الذي يشير إليه التقرير السادس الصادر عن الهيئة الحكومية الدولية المعنية بالتغيرات المناخية (IPCC, 2021) والذي أكد على إمكانية تعرض المنطقة المدارية لارتفاع درجات الحرارة ونقص كمية الأمطار وزيادة معدلات الجفاف بحلول عام

٢١٠٠، وفي ظل هذه التغيرات المحتملة للظروف المناخية فمن المتوقع أن تنعكس آثارها على التنوع البيولوجي والبيئة الحيوبة بشكل عام والقواقع المائية بشكل خاص، فهي تُعد أحد المؤشــرات البيئية على حدوث تغيرات في الظروف المناخية نتيجة حساسيتها الشديدة للتغير في البيئية والمحيط الحيوي. وبتوقع أن تعمل التغيرات المناخية والتقلبات الفصيلية على تقليل فترة الخمول للقواقع وزبادة فترة ومدة الحركة والنشاط والتكاثر والتبويض ومعها زبادة الأخطار التي يتعرض لها الإنسان من انتقال الأمراض المرتبطة بالقواقع المائية.

واعتمدت الدراســة الحالية على بيانات الســيناربو المتفائل (- SSP2 – 4.5/Median 50th) للمرجلة السادسة للإسقاطات المناخية - كأحد مخرجات نماذج المناخ العالمي لمشاريع المقارنة المزدوجة (CMIP6) التي يُشرف عليها البرنامج العالمي لأبحاث المناخ المستخدمة في التقرير السادس للهيئة الحكومية الدولية المعنية بالتغيرات المناخية IPCC، وهي البيانات التي تمثل النتائج المتوقعة وفقًا للمسار المتوسط لسيناربو الانبعاثات وتأثيرها على التغير في النظام المناخي، وهو السيناربو الذي يفترض زبادة متوسط درجة الحرارة العالمية بحوالي ٢,٣ درجة سيليزية أعلى من معدلات الحرارة لما قبل الثورة الصناعية بحلول ٢٠٥٠، لتصل إلى حوالي ٣,٧ درجة سيليزية بحلول ۲۱۰۰ (CCKP, WB, 2022)، علاوة على افتراض انخفاض رطوبة التربة السـطحية لنسـب تتراوح بين ٦-% إلى ٩٠% بحلول ٢٠٥٠، وتتراوح بين – ١٠% إلى -١٣% بحلول ٢١٠٠. ذلك إضافة إلى تقنيات نمذجة نظم المعلومات الجغرافية لإنشاء خربطة لمعامل الخطورة لاحتمالية التعرض للإصابة بالأمراض المرتبطة بالقواقع المائية في محافظة أسيوط في ضوء التغيرات المناخية المحتملة حتى عام ٢١٠٠، وبشير شكل (٢٣) إلى نموذج نظم المعلومات الجغرافية لإنشاء الخريطة المحتملة لدرجة خطورة التعرض للإصابة بالأمراض المرتبطة بالقواقع المائية في محافظة أسيوط في ضوء الظروف المناخية المحتملة عامي ٢٠٥٠، و٢١٠٠ على التوالي.

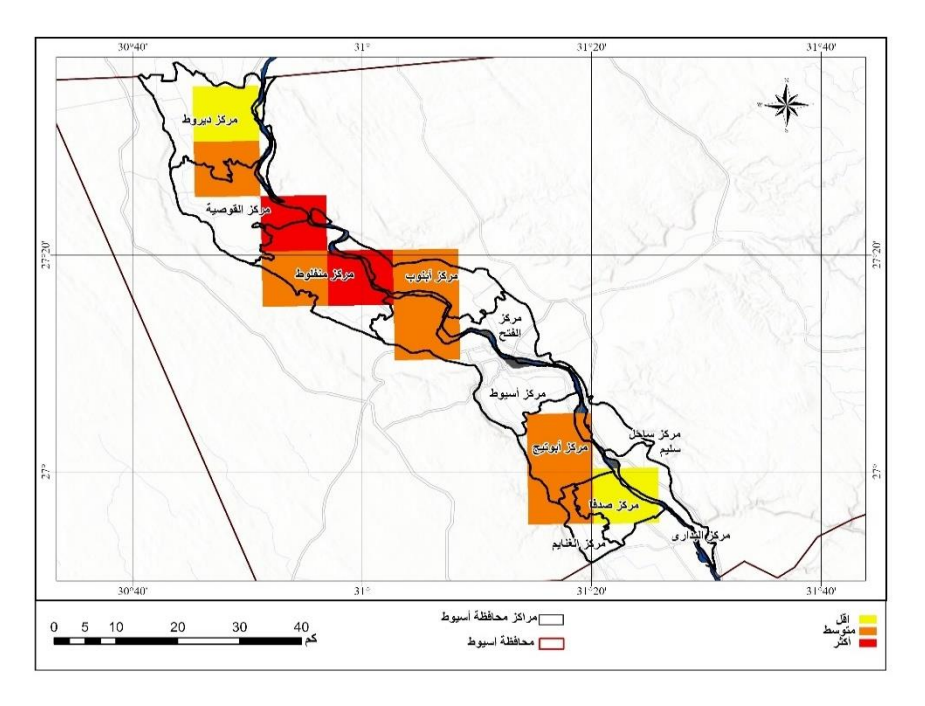


شكل (٢٢) مستويات الخطورة المحتملة للإصابة بالأمراض المرتبطة بالقواقع المائية في محافظة أسيوط في ضوء الظروف المناخية الحالية



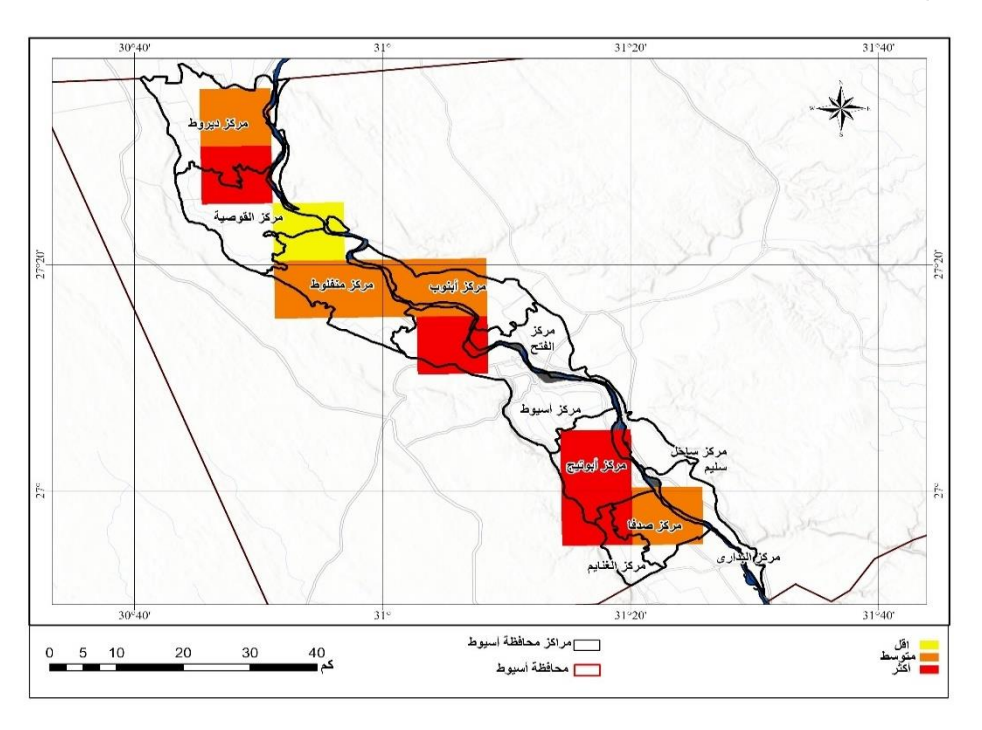
شكل (٢٣) نمذجة نظم المعلومات الجغرافية لمستوبات الخطورة المحتملة للإصابة بالأمراض المرتبطة بالقواقع المائية في محافظة أسيوط ٢٠٠٠ و ٢١٠٠

وبشير شكل (٢٤) إلى معامل خطورة التعرض للإصابة بالأمراض المرتبطة بالقواقع المائية في محافظة أسيوط عام ٢٠٥٠ وبالحظ منه أن القطاع الأوسط من المحافظة يحافظ على مستوى خطورته، بينما يرتفع مستوى الخطورة جنوب مركز ديروط إلى فئة أعلى نتيجة احترار متوقّع +١,٨ درجة لتصــل إلى ما بين ٣٠-٣٢ درجة مع زبادة التبخر، مما يقربه من المجال الحراري المثالي لنمو وتكثار القواقع المائية بفضــل بقاء الرطوبة مدعومة بالري النيلي. في المقابل تنخفض خطورة مركز صدفا قليلًا بسبب ارتفاع الحرارة لأكثر من ٣٦ درجة، وانخفاض الرطوبة بنسبة -٨%، مما يقلص من ملاءمة نمو وتكاثر قواقع الليمنيا كايودي. علاوة على بقاء مراكز القوصية وأبوتيج ضمن فئة الأعلى خطورة. حيث الجمع بين القنوات المائية الكثيفة والري الدائم الذي يطغى على خسارة رطوبة المتوقعة بالتبخر نتيجة للنموذج والاحترار المتوقع +١,٨ درجة، وانخفاض الرطوبة بنسبة -٨ % في محافظة أسيوط.



شكل (٢٤) مستوبات الخطورة المحتملة للإصابة بالأمراض المرتبطة بالقواقع المائية في محافظة أسيوط عام ٢٠٥٠

وبشير شكل (٢٥) إلى معامل خطورة التعرض للإصابة بالأمراض المرتبطة بالقواقع المائية في محافظة أسيوط عام ٢١٠٠ وبلاحظ منه تحول مركزي أبنوب وأبوتيج وغرب صدفا إلى فئة الأكثر خطورة على الرغم من انخفاض رطوبة التربة المتوقع بنسبة - ٢٠ %، لكن استمرار الزراعة المروبة بتعويض الفاقد، بينما ارتفاع الحرارة المتوقع إلى ٣٦ درجة يجعلها تظل تحت الحد الأقصـــي لإجهاد قواقع بولينس، مما يحافظ على ملاءمة تلك الظروف المناخية لتكاثرها. وبعكس الشكل تحول موائل القواقع باتجاه مناطق زراعة كثيفة مما يجعلها ملاذات بشرية المنشأ.



شكل (٢٥) مستويات الخطورة المحتملة للإصابة بالأمراض المرتبطة بالقواقع المائية في محافظة أسيوط عام ٢١٠٠

ومن العرض السابق، يمكن القول بأن أثر التغيرات المناخية المحتملة على معدلات الإصابة بالأمراض المنقولة بالقواقع المائية في محافظة أسيوط يمكن إيجازه على النجو التالي:

- تحرّك الخطر في الاتجاه الشمالي- الغربي عام ٢٠٥٠، وذلك عند انتقال درجات الحرارة إلى النطاق الأمثل.
- تزحزح نطاقات الخطورة الأعلى إلى الجنوب عام ٢١٠٠، وذلك مع قيام الرى المستمر للأراضي الزراعية بتعويض الجفاف المناخي.
- الاحترار المتوقع +١,٨ درجة بحلول ٢٠٥٠، سيعمل على زبادة درجة حرارة فصل الشتاء من ١٨ إلى ٢٠ درجة، مما يزيد من الملاءمة المناخية لفصل الشتاء لتكاثر قواقع بولينس وليمنيا كايودي، وربما يُطيل موسم بيومفالاربا لشهربن إضافيين.
- − جفاف التربة السطحية المتوقع بنسبة −٨%، سيعمل على انخفاض موجة الصيف في ذروة تكاثر ليمنيا كايودي وبيومفالاربا، لكن استمرار رطوبة الخريف بفعل الري يتيح ذروة ثانية، بما يمثل زجزجة للنطاقات المناخية الحالية الأكثر ملاءمة تكاثر ونمو القواقع المائية.
- الاحترار المتوقع +٥ درجة وانخفاض الرطوبة بنسبة -٢٠٠ بحلول ٢١٠٠، سيجعل الصيف غير ملائم لتكاثر بيومفالاربا تمامًا، بينما يحافظ بولينس على وجوده حول الترع المروبة، وذلك بفضل قدرته على السبات الصيفي في قاع القنوات المائية.
- يمكن القول بأن التفاعل غير الخطّي بين الحرارة عند الحد الأمثل بين ٣٠-٣٤ درجة، ورطوبة التربة أكبر من ٢٫٨ ملم، مع عامل المسافة للقنوات المائية، هو المحرك الأساسي لديناميات القواقع في محافظة أسيوط. وأن سيناريو SSP2-4.5 سيعيد تشكيل بؤر الشمال لتركز القواقع المائية بحلول منتصف القرن، بينما يرفع عبء المرض جنوبًا مع نهاية القرن، حيث تصبح الموائل مدفوعة بشربًا من خلال ري الأراضيي الزراعية بدلًا من العوامل الطبيعية. وبعكس نموذج نظم الملعومات الجغرافية المقترح الواقع حاليًا بدقة عالية وبوفِّر إطارًا للتخطيط الوقائي المستقبلي شربطة تحديث حدوده الحرجة كلّ خمس سنوات وتشديدها على حرارة قصوي ورطوبة دنيا لنمو وتكاثر القواقع المائية.

الخلاصة والتوصيات:

انتهت الدراسة إلى وجود علاقة طردية قوية على المستوى المكاني بين عدد حالات الإصابة بالأمراض المنقولة عبر القواقع المائية وهي البلهارسيا والفاشيولا من ناحية، ودرجات الحرارة ومعدلات الرطوبة السطحية للتربة في منطقة الدراسة وتؤكدها العلاقة الإحصائية الطردية المتوسطة بين المتغيرين على الترتيب، وهو ما يؤكد بشكل كبير موسمية الخطورة للتعرض للإصابة بالأمراض المنقولة عبر القواقع المائية في منطقة الدراسة، تلك الموسمية المرتبطة بالظروف المناخية والتقلبات الطقسية الفصلية والشهرية. وانتهت الدراسة إلى تباين معدلات الخطورة على المستوى المكاني بين مراكز محافظة أسيوط، وعلى المستوى الزمني لاحتمالية التعرض وفقا للتغيرات المناخية المحتملة على منكقة الدراسة.

وانتهت الدراسية إلى الخروج بخريطة محتملة لمعدلات الخطورة للتعرض للإصابة بالأمراض المنقولة عبر القواقع المائية في محافظة أسيوط في ضوء الظروف المناخية الحالية ووفقًا للتغيرات المناخية المحتملة ٢٠٠٠، و٢١٠٠. فمن المتوقع أن تبدأ القواقع في الانتشارفي بيئات إيكوجغرافية غير ملاءمة في الوقت الحالي، ولكنها ستكون أكثر ملاءمة نتيجة للتغيرات المناخية.

تُعد الدراســة الحالية دراســة جغرافية تحليلية للظروف المناخية والجيوبيئية لأخطار التعرض للإصابة بالأمراض المرتبطة بالقواقع المائية ذات فائدة لمتخذي القرار لمسئولي السياسات الصحية وعلماء البيئة والباحثين، فهي بمثابة بداية للتوجه نحو بناء قاعدة بيانات للمراقبة الجيو وبائية للأنماط المكانية والزمنية لتوزيع القواقع المائية؛ لتُمكّن مسؤولي الصحة العامة في مصر من التصدي للأمراض المرتبطة بالقواقع المائية وإنشــاء نظم الإنذار المبكر للأوبئة. علاوة على أهمية إدماج مخرجات الاستشعار عن بعد في نظم الإنذار المبكر للأوبئة.

قائمة المصادر والمراجع

أولًا المصادر والمراجع العربية:

- ١- الجهاز المركزي للتعبئة العامة والإحصاء (CAPMAS)، النتائج النهائية لتعداد سكان محافظة أسيوط، ۲۰۱۷، إصدار ۲۰۱۸.
- دوجلاس لي، المناخ وأثره في التنمية الاقتصادية بالمناطق المداربة، ترجمة محمد زكى الرشيدي، دار الفكر العربي، ١٩٦٢.
- السبعاوي، محمد نور الدين (٢٠٢٢): الاتجاهات الحديثة في الدراسات الجغرافية، الجغرافيا الطبية مناهج البحث وأساليب التطبيق، ط٢٣.
 - الهيئة العامة للأرصاد الجوبة، محطة أرصاد أسيوط، بيانات غير منشورة، ٢٠٢٣.
 - وزارة الري والموارد المائية، مديرية الري بأسيوط، بيانات غير منشورة، ٢٠٢٣.
- وزارة الصحة والسكان، مديرية الصحة بأسيوط، إدارة مكافحة القواقع، بيانات غير منشورة، . 7 . 7 . 7 . 7 . 7 .
- الوكيل، حمدي بديع محمد (٢٠١٠): القواقع المائية والأرضية بين الطب والبيئة، المملكة العربية السعودية، وزارة التعليم العالي، إدارة النشر العلمي، جامعة الطائف، الطائف.

ثانيًا المراجع والمصادر الأجنبية:

- 1- Adekiya, T. A., Aruleba, R. T., Oyinloye, B. E., Okosun, K. O., & Kappo, A. P. (2020). The effect of climate change and the snail-schistosome cycle in transmission and bio-control of schistosomiasis in Sub-Saharan Africa. International journal of environmental research and public health, 17(1), 181.
- 2- Alda, P., Lounnas, M., Vázquez, A. A., Ayaqui, R., Calvopiña, M., Celi-Erazo, M., & Hurtrez-Boussès, S. (2021). Systematics and geographical distribution of Galba species, a group of cryptic and worldwide freshwater snails. Molecular Phylogenetics and Evolution, 157, 107035.
- 3- Appleton, C. C. (1978). Review of the literature on abiotic factors influencing the distribution and life cycles of Bilharziasis intermediate host snails. Malacologia, 17(1), 1–20.
- 4- Asare, K. K., Mohammed, M.-D. W., Aboagye, Y. O., Arndts, K., & Ritter, M. (2025). Impact of Climate Change on Schistosomiasis Transmission and Distribution-Scoping Review. International Journal of Environmental Research and **Public** Health. 22(5),812. https://doi.org/10.3390/ijerph22050812

- 5- Babbitt, C. R., Laidemitt, M. R., Mutuku, M. W., Oraro, P. O., Brant, S. V., Mkoji, G. M., & Loker, E. S. (2023). Bulinus snails in the Lake Victoria Basin in Kenya: systematics and their role as hosts for schistosomes. PLOS Neglected Tropical Diseases, 17(2), e0010752.
- 6- Betterton, 1984). Ecological studies on the snail hosts of schistosomiasis in the South Chad Irrigation Project Area, Borno State, northern Nigeria. Journal of arid environments, 7(1), 43-57.
- 7- Boitt, M. K., & Suleiman, M. K. (2021). Mapping of freshwater snails' habitat-A source of transmitting Bilharzia in Mwea sub-county, Kenya. Journal of Geoscience and Environment Protection, 9(10), 130-150.
- 8- Brooker, S., & Michael, E. (2000). The potential of geographical information systems and remote sensing in the epidemiology and control of human helminth infections. Advances in parasitology, 47, 245-288.
- 9- CCKP (The Climate Change Knowledge Portal), The World Bank, 2022, https://climateknowledgeportal.worldbank.org/
- 10- Conrads, P. A., Roehls, E., Daamen, R. U. B. Y., & Kitchens, W. M. (2006, August). Using artificial neural network models to integrate hydrologic and ecological studies of the snail kite in the Everglades, USA. In Proceedings of the 7th International Conference on Hydroinformatics. Nice, France (pp. 1651-1658).
- 11- Cross, E. R., Perrine, R., Sheffield, C., & Pazzaglia, G. (1984). Predicting areas endemic for schistosomiasis using weather variables and a Landsat database. Military medicine, 149(10), 542-544.
- 12- De Kock, K. N., & Wolmarans, C. T. (2005). Distribution and habitats of the freshwater snail Biomphalaria pfeifferi (Krauss) in South Africa. Water SA, 31(1), 117–123.
- 13- Dube, A., Kalinda, C., Manyangadze, T., Mindu, T., & Chimbari, M. J. (2023). Effects of temperature on the life history traits of intermediate host snails of fascioliasis: A systematic review. PLOS Neglected Tropical Diseases, 17(12), e0011812.
- 14-Epstein, P. R. (2004). Climate change and public health: emerging infectious diseases. Encyclopedia of Energy.

- 15-Galavani, H., Haniloo, A., Raeghi, S., Ghatee, M. A., & Karamian, M. (2024). Bioclimatic analysis and spatial distribution of fascioliasis causative agents by assessment of Lymnaeidae snails in northwestern provinces of Iran. Parasites & Vectors, 17(1), 244.
- 16-Guan, Q., Wu, H., Xu, X., Zhang, Z., & Xue, Z. (2023). Geographical and climate dependent patterns in spatial distributions of snail (Mollusca: Gastropoda) assemblages in freshwater wetlands across Northeast China. Freshwater Biology, 68(6), 1066-1078.
- 17-Guan, W., Li, S., Liu, Q., & Zhou, X. N. (2023). Current challenges in schistosomiasis control and elimination. Infectious Diseases of Poverty, 12(1), 55.
- 18-Guimarães, R. J., Freitas, C. C., Dutra, L. V., Moura, A. C., Amaral, R. S., Drummond, S. C., and Carvalho, O. S. (2008). Schistosomiasis risk estimation in Minas Gerais State, Brazil, using environmental data and GIS techniques. Acta Tropica, 108(2-3), 234-241.
- 19-Hailegebriel, T., Nibret, E., & Munshea, A. (2022). Distribution and seasonal abundance of Biomphalaria snails and their infection status with Schistosoma mansoni around Lake in and Tana. northwest Ethiopia. Scientific Reports, 12(1), 17055.
- 20-Hoover, C. M., Rumschlag, S. L., Strgar, L., Arakala, A., Gambhir, M., De Leo, G. A., and Remais, J. V. (2020). Effects of agrochemical pollution on schistosomiasis transmission: a systematic review and modelling analysis. The Lancet Planetary Health, 4(7), e280-e291.
- 21-Hughes, L. (2000). Biological consequences of global warming: is the signal already apparent?. Trends in ecology & evolution, 15(2), 56-61.
- 22-IPCC, 2021: Climate Change 2021: The Physical Science Basis. Contribution of Working Group I to the Sixth Assessment Report of the Intergovernmental Panel on Climate Change [Masson-Delmotte, V., P. Zhai, A. Pirani, S.L. Connors, C. Péan, S. Berger, N. Caud, Y. Chen, L. Goldfarb, M.I. Gomis, M. Huang, K. Leitzell, E. Lonnoy, J.B.R. Matthews, T.K. Maycock, T. Waterfield, O. Yelekçi, R. Yu, and B. Zhou (eds.)]. Cambridge University Press, Cambridge, United Kingdom and New York, NY, USA, In press, doi:10.1017/9781009157896.

- 23-IPCC, 2021: Climate Change 2021: The Physical Science Basis. Contribution of Working Group I to the Sixth Assessment Report of the Intergovernmental Panel on Climate Change [Masson-Delmotte, V., P. Zhai, A. Pirani, S.L. Connors, C. Péan, S. Berger, N. Caud, Y. Chen, L. Goldfarb, M.I. Gomis, M. Huang, K. Leitzell, E. Lonnoy, J.B.R. Matthews, T.K. Maycock, T. Waterfield, O. Yelekçi, R. Yu, and B. Zhou (eds.)]. Cambridge University Press, Cambridge, United Kingdom and New York, NY, USA, In press, doi:10.1017/9781009157896.
- 24- Kalinda C, Chimbari MJ, Mukaratirwa S. (2017). Effect of temperature on the Bulinus globosus - Schistosoma haematobium system. Infect Dis Poverty. 2017 May 1;6(1):57. doi: 10.1186/s40249-017-0260-z. PMID: 28457230; PMCID: PMC5410706
- 25-Kantzoura, V., Kouam, M. K., Feidas, H., Teofanova, D., & Theodoropoulos, G. (2011). Geographic distribution modelling for flukes (Fasciola south-eastern ruminant liver hepatica) in Europe. International journal for parasitology, 41(7), 747-753.
- 26-Khalafala, R. E. (2020). Prevalence and phylogenetic analysis of Fasciola based on ribosomal species in upper Egypt sequencing. Egyptian Veterinary Medical Society of Parasitology Journal (EVMSPJ), 16(1), 142-158.
- 27- Kistemann, T., Dangendorf, F., & Schweikart, J. (2002). New perspectives on the use of Geographical Information Systems (GIS) in environmental health sciences. International journal of hygiene and environmental health, 205(3), 169-181.
- 28-Kopolrat, K., Sithithaworn, P., Kiatsopit, N., Namsanor, J., Laoprom, N., Tesana, S., & Petney, T. N. (2020). Influence of water irrigation schemes and seasonality on transmission dynamics of Opisthorchis viverrini in the snail intermediate host, Bithynia siamensis goniomphalos in rice paddy fields in Northeast Thailand. The American Journal of Tropical Medicine and Hygiene, 103(1), 276.
- 29-Koudenoukpo, Z. C., Odountan, O. H., Agboho, P. A., Dalu, T., Van Bocxlaer, B., de Bistoven, L. J., and Backeljau, T. (2021). Using selforganizing maps and machine learning models to assess mollusc community structure in relation to physicochemical variables in a West Africa River–estuary system. Ecological Indicators, 126, 107706.

- 30-Kristensen, T. K., Malone, J. B., & McCarroll, J. C. (2001). Use of satellite remote sensing and geographic information systems to model the distribution and abundance of snail intermediate hosts in Africa: a for Biomphalaria pfeifferi preliminary model in Ethiopia. Acta Tropica, 79(1), 73-78.
- 31-Magero, V. O., Kisara, S., & Wade, C. M. (2021). Geographical distribution of Biomphalaria snails in East Africa. bioRxiv, 2021-11.
- 32-Manning, S. D., Woolhouse, M. E. J., & Ndamba, J. (1995). Geographic compatibility of the freshwater snail Bulinus globosus and schistosomes highveld. International from the Zimbabwe Journal for Parasitology, 25(1), 37-42.
- 33-Mas-Coma, S., Valero, M. A., & Bargues, M. D. (2009). Climate change effects on trematodiases, with emphasis on zoonotic fascioliasis and schistosomiasis. Veterinary parasitology, 163(4), 264-280.
- 34-Meshgi, B., Majidi-Rad, M., Hanafi-Bojd, A. A., & Fathi, S. (2019). Ecological niche modeling for predicting the habitat suitability of fascioliasis based on maximum entropy model in southern Caspian Sea littoral, Iran. Acta tropica, 198, 105079.
- 35-NASA Jet Propulsion Laboratory. (2020). Soil Moisture Active Passive (SMAP) Data Products. National Aeronautics and Space Administration (NASA). Retrieved from https://smap.jpl.nasa.gov/data
- 36-Okeke, O. C., Akinwale, O. P., Ubachukwu, P. O., Gyang, P. V., Henry, E. U., Nwafor, T. E., and Dido, M. S. (2020). Report of high prevalence of schistosome infection in Biomphalaria snails from a geographic area with no previous prevalence of human schistosomiasis in Nigeria. Acta tropica, 210, 105326.
- 37-Oso, O. G., Sunday, A. A., & Odaibo, A. B. (2022a). Environmental correlates of snail intermediate hosts of schistosomiasis in Nigeria. Acta Tropica, 234, 106604.
- 38-Oso, O. G., Sunday, J. O., & Odaibo, A. B. (2022b). Models for predicting bulinids species habitats in southwestern Nigeria. Parasite Epidemiology and Control, 18, e00256.
- 39-Pedersen, U. B., Stensgaard, A. S., Madsen, H., & Kristensen, T. K. (2014). Modelling climate change impacts on the potential schistosomiasis transmission in Africa using a biogeographical approach. African Journal of Environmental Science and Technology, 8(5), 268–280. https://doi.org/10.5897/AJEST2013.1624

- 40-Poulin, R., & Mouritsen, K. N. (2006). Climate change, parasitism and the structure of intertidal ecosystems. Journal of helminthology, 80(2), 183-191.
- 41-Preston, D. L., Crone, E. R., Miller-ter Kuile, A., Lewis, C. D., Sauer, E. L., & Trovillion, D. C. (2022). Non-native freshwater snails: a global synthesis of invasion status, mechanisms of introduction, and interactions with natural enemies. Freshwater Biology, 67(2), 227-239.
- 42-Rainey, M. B., & Hess, A. D. (1967). Public health problems related to irrigation. Irrigation of Agricultural Lands, 11, 1070-1081.
- 43- Recopuerto-Medina, L. M., Gutierrez, F. C. U., San Diego, J. A. S., Alviar, N. A. E., Santos, J. R. M., & Dagamac, N. H. A. (2024). MaxEnt modeling of the potential risk of schistosomiasis in the Philippines using bioclimatic factors. Parasitology International, 98, 102827.
- 44-Scholte, R. G. C., et al. (2014). Mapping snail habitat suitability and risk of schistosomiasis transmission in Africa. Geospatial Health, 8(2), 465–478.
- 45-Scholte, R. G., Gosoniu, L., Malone, J. B., Chammartin, F., Utzinger, J., & Vounatsou, P. (2014). Predictive risk mapping of schistosomiasis in Brazil using Bayesian geostatistical models. Acta tropica, 132, 57-63.
- 46-Sil, M., Aravind, N. A., & Karanth, K. P. (2019). Role of geography and climatic oscillations in governing into-India dispersal of freshwater snails of the family: Viviparidae. Molecular Phylogenetics and Evolution, 138, 174-181.
- 47-Stensgaard, A. S., Utzinger, J., Vounatsou, P., Hürlimann, E., Schur, N., Saarnak, C. F., ... & Kristensen, T. K. (2013). Large-scale determinants of intestinal schistosomiasis and intermediate host snail distribution across Africa: does climate matter?. Acta tropica, 128(2), 378-390.
- 48-Stensgaard, A. S., Vounatsou, P., Sengupta, M. E., & Utzinger, J. (2019). Schistosomes, snails and climate change: current trends and future expectations. Acta tropica, 190, 257-268.
- 49-Tabo, Z., Breuer, L., Fabia, C., Samuel, G., & Albrecht, C. (2024). A machine learning approach for modeling the occurrence of the major intermediate hosts for schistosomiasis in East Africa. Scientific Reports, 14(1), 4274.

- 50-Tabo, Z., Neubauer, T. A., Tumwebaze, I., Stelbrink, B., Breuer, L., Hammoud, C., & Albrecht, C. (2022). Factors controlling the distribution of intermediate host snails of schistosoma in crater lakes in Uganda: A machine learning approach. Frontiers in Environmental Science, 10, 871735.
- 51-Tchakonte, S., et al. (2023). Freshwater mollusks as bioindicators of aquatic ecosystem pollution. Environmental Monitoring and Assessment, 195(8), 989.
- 52-Tchakonte, S., Nana, P. A., Tamsa, A. A., Tchatcho, N. L. N., Koji, E., Onana, F. M., & Ajeagah, G. A. (2023). Using machine learning models to assess the population dynamic of the freshwater invasive snail Physa acuta Draparnaud, 1805 (Gastropoda: Physidae) in a tropical urban polluted streams-system. Limnologica, 99, 126049.
- 53-U.S. Geological Survey. (2019). Landsat 8 (L8) Data Users Handbook: TIRS Temperature Retrieval. U.S. Department of the Interior. Retrieved from https://www.usgs.gov/land-resources/nli/landsat/landsat-8
- 54-USDA-NASA Hydrology Satellite Lab. (2020). SMAP10KM Soil Product Documentation. Moisture Retrieved from https://developers.google.com/earth-engine/datasets/catalog/NASA_ USDA HSL SMAP10KM soil moisture
- 55-Wang, T., Zhang, T., An, W., Wang, Z., & Li, C. (2024). Predicting the Potential Geographic Distribution of Invasive Freshwater Apple Snail Pomacea canaliculate (Lamarck, 1819) under Climate Change Based on Biomod2. Agronomy, 14(4), 650.
- 56-World Health Organization (WHO). Climate change and health. Available at https://www.who.int/news-room/fact-sheets/detail/climate-change-andhealth. Accessed on 15 March 2023.
- 57-World Health Organization. (1995). Control of schistosomiasis: Second report of the WHO Expert Committee. WHO Technical Report Series, No. 830
- 58-Wu, J. Y., Zhou, Y. B., Li, L. H., Zheng, S. B., Liang, S., Coatsworth, A., & Jiang, Q. W. (2014). Identification of optimum scopes of environmental factors for snails using spatial analysis techniques in Dongting Lake Region, China. Parasites & vectors, 7, 1-12.

- 59-Yang, G. J., Vounatsou, P., Xiao-Nong, Z., Utzinger, J., & Tanner, M. (2005). A review of geographic information system and remote sensing with applications to the epidemiology and control of schistosomiasis in China. Acta tropica, 96(2-3), 117-129.
- 60-Yilma, J. M., & Malone, J. B. (1998). A geographic information system forecast model for strategic control of fasciolosis in Ethiopia. Veterinary parasitology, 78(2), 103-127.
- 61-Zanaty, N., Ibrahim, N., Ramadan, H.KA. et al. Significance of climate change in the emergence of human fascioliasis in Upper Egypt. Trop Dis Travel Med Vaccines 10, 24 (2024). https://doi.org/10.1186/s40794-024-00234-z
- 62-Zein-Eddine, R., Djuikwo-Teukeng, F. F., Dar, Y., Dreyfuss, G., & Van den Broeck, F. (2017). Population genetics of the Schistosoma snail host Bulinus truncatus in Egypt. Acta Tropica, 172, 36-43.
- 63-Zhu, Q., Luo, Y., Xu, Y.-P., Tian, Y., & Yang, T. (2019). Satellite Soil Moisture for Agricultural Drought Monitoring: Assessment of SMAP-Derived Soil Water Deficit Index in Xiang River Basin, China. Remote Sensing, 11(3), 362. https://doi.org/10.3390/rs11030362